



ผลการวิจัย

การวิเคราะห์โครโนโซมของบุปผา ศึกษาจากเซลเม็ดเลือดขาวที่เลี้ยงให้อยู่ใน
ระยะเนตคาเฟส 100 เซลล์

บุปผาป่วยที่ 1 อายุ 36 ปี

พบว่าโครโนโซมที่หักในบุปผาป่วยก่อนได้รับรังสี

มีเพียง 3 เปอร์เซ็น การหักของโครโนโซมจะเพิ่มขึ้นเมื่อบุปผาได้รับปริมาณรังสีเพิ่มขึ้น
การหักของโครโนโซมแบบ chromatid break หรือ chromatid gap มีมากกว่าการหัก
ของโครโนโซมแบบ chromosome break หรือ chromosome gap การหักของโครโนโซม
กลุ่ม C พบได้มากกว่าในโครโนโซมกลุ่มอื่น

โครโนโซมที่มีลักษณะผิดปกติ เช่น dicentric chromosome, acentric
chromosome และ ring chromosome จะไม่พบในบุปผาป่วยก่อนรับรังสี แต่ dicentric
chromosome ในบุปผาที่ได้รับปริมาณรังสี 200 rads และมีจำนวนเพิ่มขึ้นเมื่อเพิ่มปริมาณ
รังสีเพิ่มขึ้น ส่วน ring chromosome พบในบุปผาที่ได้รับปริมาณรังสีมาก 800
และ 3,200 rads acentric chromosome พบในบุปผาที่ได้รับปริมาณรังสี 400 rads
ขึ้นไป

ในบุปผานี้เมื่อได้รับปริมาณรังสี 4,000 rads จะไม่พบเซลเม็ดเลือดขาว
เจริญเลย เมื่อรวมรวมโครโนโซมที่ผิดปกติทั้งหมด พบว่าโครโนโซมที่ผิดปกติทั้งหมดจะมี
จำนวนเพิ่มขึ้นเมื่อบุปผาได้รับรังสีในปริมาณมากขึ้น ดังแสดงในตารางที่ 8

ตารางที่ 8 แสดงโครงโนไซม์ที่มีกีบกอกในสูบบุหรี่ 1

จำนวน รังสี (rads)	จำนวน เน kutchell	chromatid break or gap							chromosome break or gap							จำนวน โครงโนไซม์ ทั้ง %	จำนวน ring %	จำนวน dicentric %	จำนวน acentric %	จำนวน โครงโนไซม์ ที่มีกีบกอก %		
		กลุ่มโครงโนไซม์							กลุ่มโครงโนไซม์													
		A	B	C	D	E	F	G	A	B	C	D	E	F	G							
0	100	1	1	0	0	0	0	0	1	0	0	0	0	0	0	3	0	0	0	0	3	6,0
200	100	2	2	2	0	0	0	0	1	1	0	0	0	0	0	8	0	5	0	0	13	+
400	100	1	2	5	2	0	0	0	2	1	2	0	0	0	0	15	0	6	2	2	23	+
800	100	2	5	6	0	0	0	0	1	1	1	0	0	0	0	16	1	10	4	31	+	
1600	100	3	3	6	0	1	0	0	3	2	2	0	0	0	0	20	0	12	4	36	4,4	
3200	100	3	3	6	1	0	0	0	1	3	4	0	0	0	0	22	1	12	4	39	4,45	
* 4000	-	-	-	-	-	-	-	-	-	-	-	-	-	-	-	-	-	-	-	-	4,00	

* ไม่มีเซลล์เม็ดเลือดขาวเจริญ เมื่อได้รับปริมาณรังสี 4,000 rads

+ ไม่ใช่ทำการหินชีหานหลักอัลลงบาร.

ผู้ป่วยคนที่ 2 อายุ 38 ปี

โกรโนไซม์ที่หักในผู้ป่วยก่อนได้รับรังสี

มีเพียง

3 เบอร์เซ็นต์ การหักของโกรโนไซม์เพิ่มขึ้นเมื่อผู้ป่วยได้รับปริมาณรังสีเพิ่มขึ้น การหักของโกรโนไซม์แบบ chromatid break หรือ chromatid gap มีมากกว่าการหักของโกรโนไซม์แบบ chromosome break .chromosome gap. การหักของโกรโนไซม์กลุ่ม C พบร้าค์มากกว่าในโกรโนไซม์กลุ่ม A

โกรโนไซม์ที่มีลักษณะพิเศษ เช่น dicentric chromosome, acentric chromosome และ ring chromosome จะไม่พบในผู้ป่วยก่อนรับรังสีพบ dicentric chromosome ในผู้ป่วยที่ได้รับปริมาณรังสี 200 rads และมีจำนวนเพิ่มขึ้นเมื่อผู้ป่วยได้รับปริมาณรังสีเพิ่มขึ้น ส่วน ring chromosome พบร้าค์ในผู้ป่วยที่ได้รับปริมาณรังสีขนาด 3,200 rads acentric chromosome พบร้าค์ในผู้ป่วยที่ได้รับปริมาณรังสี 200 rads ขึ้นไป

ในผู้ป่วยนี้เนื้อโกรโนไซม์ 4,000 rads จะไม่พบเซลล์เนื้อคิลเลอคากเจริญเลย เมื่อรวมรวมโกรโนไซม์ที่พิเศษทั้งหมด พบร้าโกรโนไซม์ที่พิเศษทั้งหมด จะมีจำนวนเพิ่มขึ้น เมื่อผู้ป่วยได้รับรังสีในปริมาณมากขึ้น (ดังแสดงในตารางที่ 9)

ตารางที่ 9 แสดงโครโนโซมที่ผิดปกติในผู้ป่วยที่ 2

ผู้ป่วยคนที่ 2 ขนาดของ รังสี(rads)	จำนวน เนafka เฟส	chromatid break or gap							chromosome break or gap							จำนวน โครโนโซม หัก %	จำนวน ring %	จำนวน dicentric %	จำนวน acentric %	จำนวน โครโนโซม ที่ผิดปกติ %	จำนวน ผู้ป่วย %	
		กลุ่มโครโนโซม							กลุ่มโครโนโซม													
		A	B	C	D	E	F	G	A	B	C	D	E	F	G							
0	100	0	1	1	0	0	0	0	0	0	1	0	0	0	0	3	0	0	0	0	3	5,10
200	100	1	3	4	0	0	0	0	2	0	1	0	0	0	0	11	0	4	1	16	+	
400	100	2	3	3	0	0	0	0	1	1	1	0	0	0	0	11	0	10	3	24	+	
800	100	1	2	4	1	0	0	0	1	3	3	0	0	0	0	15	0	10	3	28	+	
1600	100	1	4	6	0	0	0	0	1	4	3	0	0	0	0	19	0	11	4	34	5,00	
3200	100	3	4	6	0	0	0	0	2	2	3	0	0	0	0	20	1	13	5	39	4,90	
*4000	-	-	-	-	-	-	-	-	-	-	-	-	-	-	-	-	-	-	-	-	4,00	

* ในเมืองเม็กเลือกขาวเจริญ เป็นครั้งปริมาณรังสี 4,000 rads

+ ไม่เกิดทั้งครั้งนั้น ทั้งหมดเกิดแล้วคงไว้.

ผู้ป่วยที่ 3 อายุ 25 ปี

พบว่า โครโน่ชัมที่หักในผู้ป่วยก่อนได้รับรังสี

มีเพียง 6 เปอร์เซ็น การหักของโครโน่ชัมจะเพิ่มขึ้นเมื่อผู้ป่วยได้รับปริมาณรังสีเพิ่มขึ้น การหักของโครโน่ชัมแบบ chromatid break หรือ chromatid gap มีมากกว่าการหักของโครโน่ชัมแบบ chromosome break หรือ chromosome gap การหักของโครโน่ชัมกลุ่ม C พบได้มากกว่าในโครโน่ชัมกลุ่มอื่น

โครโน่ชัมที่มีลักษณะบิดปกติ เช่น dicentric chromosome acentric chromosome และ ring chromosome จะไม่พบในผู้ป่วยก่อนรับรังสี พบ dicentric chromosome ในผู้ป่วยที่ได้รับปริมาณรังสี 200 rads และจะมีจำนวนเพิ่มขึ้นเมื่อผู้ป่วยได้รับปริมาณรังสีเพิ่มขึ้น ส่วน ring chromosome พบในผู้ป่วยที่ได้รับปริมาณรังสีมาก 3,200 rads และ 4,000 rads acentric chromosome ในผู้ป่วยที่ได้รับปริมาณรังสี 400 rads ขึ้นไป

เมื่อรวมรวมโครโน่ชัมที่บิดปกติทั้งหมด พบว่า โครโน่ชัมที่บิดปกติทั้งหมดจะมีจำนวนเพิ่มขึ้นเมื่อผู้ป่วยได้รับรังสีในปริมาณมากขึ้น ดังแสดงในตารางที่ 10

ตารางที่ 10 แสดงโครงโน้มะนิคปกติในผู้คนที่ 3

จำนวนคนที่ 3 ขนาดรังสี (rads)	จำนวน เมทคาเฟส	chromatid break or gap							chromosome break or gap							จำนวน โครงโน้มะนิค หัก %	จำนวน ring %	จำนวน dicentric %	จำนวน acentric %	จำนวน โครงโน้มะนิคปกติ %		
		A	B	C	D	E	F	G	A	B	C	D	E	F	G							
0	100	2	2	0	0	0	0	0	1	1	0	0	0	0	0	6	0	0	0	0	6	6,3
200	100	2	2	2	0	0	0	0	1	0	1	0	0	0	0	8	0	4	0	0	12	+
400	100	2	3	3	2	0	0	0	1	1	2	0	0	0	0	14	0	10	1	1	25	+
800	100	0	2	4	1	0	0	0	0	1	3	0	0	0	0	11	0	11	3	25	+	
1600	100	2	3	6	0	1	0	0	1	3	4	1	0	0	0	21	0	8	4	33	6,00	
3200	100	2	5	6	2	0	0	0	0	2	4	0	0	0	0	21	1	10	2	34	6,90	
4000	100	2	5	6	0	0	0	0	2	2	1	0	0	0	0	17	1	12	4	34	5,50	

+ . ค่าเฉลี่ยการหักของโครงโน้มะนิค



ผู้ป่วยคนที่ 4 อายุ 30 ปี

พบว่า โครโนโซมที่หักในผู้ป่วยก่อนได้รับรังสี

มีเพียง 3 เปอร์เซ็นต์ การหักของโครโนโซมจะเพิ่มขึ้นเมื่อผู้ป่วยได้รับปริมาณรังสีเพิ่มขึ้น การหักของโครโนโซมแบบ chromatid break หรือ chromatid gap มีมากกว่าการหักของโครโนโซมแบบ chromosome break หรือ chromosome gap การหักของโครโนโซมกลุ่ม C พบได้มากกว่าในโครโนโซมกลุ่มอื่น

โครโนโซมที่มีลักษณะผิดปกติ เช่น dicentric chromosome, acentric chromosome และ ring chromosome จะไม่พบในผู้ป่วยย้อนรับรังสี จะพบ dicentric chromosome ในผู้ป่วยที่ได้รับปริมาณรังสี 200 rads และมีจำนวนเพิ่มขึ้นเมื่อผู้ป่วยได้รับปริมาณรังสีเพิ่มขึ้น ส่วน ring chromosome พบในผู้ป่วยที่ได้รับปริมาณรังสีขนาด 1,600 rads acentric chromosome พบในผู้ป่วยที่ได้รับปริมาณรังสี 400 rads ขึ้นไป

ในผู้ป่วยนี้เมื่อได้รับปริมาณรังสี 4,000 rads จะไม่พบเซลล์เม็ดเลือดขาวเจริญ发育 เพื่อร่วบรวมโครโนโซมที่ผิดปกติทั้งหมด พบว่า โครโนโซมที่ผิดปกติทั้งหมด จะมีจำนวนเพิ่มขึ้นเมื่อผู้ป่วยได้รับรังสีในปริมาณมากขึ้น ดังแสดงในตารางที่ 11

ตารางที่ 11 แสดงโครงโน้มโขมที่ผิดปกติในผู้ป่วยคนที่ 4

ผู้ป่วยคนที่ 4 ขนาดรังสี (rads)	จำนวน เม็ดกาฬ	chromatid break or gap							chromosome break or gap							จำนวน โครงโน้มโขม ที่หัก %	จำนวน ring %	จำนวน dicentric %	จำนวน acentric %	จำนวน โครงโน้มโขม ที่ผิดปกติ %	จำนวน เม็ดกาฬ ที่หัก %							
		กลุ่มโครงโน้มโขม							กลุ่มโครงโน้มโขม																			
		A	B	C	D	E	F	G	A	B	C	D	E	F	G													
0	100	1	1	0	0	0	0	0	1	0	0	0	0	0	0	3	0	0	0	0	3	6,4						
200	100	1	2	3	0	0	0	0	0	1	2	0	0	0	0	0	9	0	4	0	0	13	+					
400	100	1	3	5	0	0	0	0	0	2	3	0	0	0	0	0	14	0	8	3	25	+						
800	100	0	2	3	4	0	0	0	1	2	3	0	0	0	0	0	15	0	11	4	30	1						
1600	100	2	5	5	0	0	0	0	1	3	2	0	0	0	0	0	18	1	10	4	33	5,7						
3200	100	2	4	6	1	1	0	0	1	4	5	0	0	0	0	0	24	0	12	3	39	4,0						
*4000	-	-	-	-	-	-	-	-	-	-	-	-	-	-	-	-	-	-	-	-	-	+						

* ในเม็ดเซลล์เม็ดเลือดขาวเจริญ เมื่อได้รับปริมาณรังสี 4,000 rads

+ ค่าเฉลี่ยการหักห้ามเม็ดกาฬ 100 เม็ด

ผู้ป่วยคนที่ 5 อายุ 34 ปี

พบว่า โครโน่ โชน์ ที่หักในผู้ป่วยก่อนได้รับรังสี
มีเพียง 3 เปอร์เซ็นต์ การหักของโครโน่ โชน์ จะเพิ่มขึ้นเมื่อผู้ป่วยได้รับปริมาณรังสีเพิ่มขึ้น
การหักของโครโน่ โชน์ แบบ chromatid break หรือ chromatid gap มีมากกว่าการหัก
ของโครโน่ โชน์ แบบ chromosome break หรือ chromosome gap การหักของโครโน่ โชน์
กลุ่ม C พบได้มากกว่าในโครโน่ โชน์ กลุ่ม D

โครโน่ โชน์ ที่มีลักษณะผิดปกติ เช่น dicentric chromosome, acentric chromosome และ ring chromosome จะไม่พบในผู้ป่วยก่อนรับรังสี จะพบ dicentric chromosome ในผู้ป่วยที่ได้รับปริมาณรังสี 200 rads และมีจำนวนเพิ่มขึ้นเมื่อผู้ป่วยได้รับ
ปริมาณรังสีเพิ่มขึ้น ส่วน ring chromosome พบในผู้ป่วยที่ได้รับปริมาณรังสีมาก 800
rads acentric chromosome พบในผู้ป่วยที่ได้รับปริมาณรังสี 200 rads เพิ่มไป

เมื่อรวมรวมโครโน่ โชน์ ที่ผิดปกติทั้งหมด มีจำนวนเพิ่มขึ้นเมื่อผู้ป่วยได้รับรังสีในปริมาณมากขึ้น
พบว่า โครโน่ โชน์ ที่ผิดปกติทั้งหมด จะ
กังวลในตารางที่ 12

ตารางที่ 12 แสดงโครงโน้มที่ผิดปกติในญัปปะบคนที่ 5

ญูปะบคนที่ 5 ขนาดรังสี (rads)	จำนวน เม็ดกาฬ	chromatid break or gap							chromosome break or gap							โครงโน้ม ^{ที่หัก %}	จำนวน ring %	จำนวน dicentric %	จำนวน acentric %	จำนวน โครงโน้มที่ผิดปกติ %						
		กลุ่มโครงโน้ม							กลุ่มโครงโน้ม																	
		A	B	C	D	E	F	G	A	B	C	D	E	F	G											
0	100	1	1	0	0	0	0	0	1	0	0	0	0	0	0	3	0	0	0	0	3	6,7				
200	100	1	2	2	0	0	0	0	1	1	1	0	0	0	0	8	0	2	1	11	+					
400	100	2	3	3	0	0	0	0	1	1	3	0	0	0	0	13	0	10	3	26	+					
800	100	1	2	3	0	0	0	0	1	1	2	0	0	0	0	10	1	12	4	27	+					
1600	100	2	4	6	0	0	0	0	1	3	4	1	0	0	0	21	0	10	3	34	6,0					
3200	100	3	5	6	1	0	0	0	1	3	2	0	0	0	0	21	0	12	4	37	6,0					
4000	100	2	3	6	0	0	0	0	1	2	3	0	0	0	0	17	0	13	4	33	5,5					

+ ค่าที่ได้จากการนับร่องรอยของโครงโน้ม

ผู้ป่วยคนที่ 6 อายุ 32 ปี

พบว่า โครโน่โชมที่หักในญูป์ปวยก่อนได้รับรังสี
มีเพียง 1 เปอร์เซ็น การหักของโครโน่โชมจะเพิ่มขึ้นเมื่อญูป์ปวยได้รับปริมาณรังสีเพิ่มขึ้น
การหักของโครโน่โชมแบบ chromatid break หรือ chromatid gap มีมากกว่าการ
หักของโครโน่โชมแบบ chromosome break หรือ chromosome gap การหักของโคร-
โน่โชมกลุ่ม C พบได้มากกว่าในโครโน่โชมกลุ่ม A

โครโน่โชมที่มีลักษณะพิเศษ เช่น dicentric chromosome, acentric chromosome และ ring chromosome จะไม่พบในญูป์ปวยก่อนรับรังสีจะพบ dicentric chromosome ในญูป์ปวยที่ได้รับปริมาณรังสี 200 rads และมีจำนวนเพิ่มขึ้นเมื่อญูป์ปวยได้รับปริมาณรังสีเพิ่มขึ้น ส่วน ring chromosome จะไม่พบในญูป์ปวยรายนี้เลยไม่ว่าจะได้รับปริมาณรังสีขนาดใด acentric chromosome พบริบูรณ์เมื่อได้รับปริมาณรังสี 200 rads ขึ้นไป

ในญูป์ปวยนี้เมื่อได้รับปริมาณรังสี 4,000 rads จะไม่พบเซลล์เม็ดเลือดขาวเจริญเลย เมื่อรวมรวมโครโน่โชมที่ผิดปกติทั้งหมด พบว่า โครโน่โชมที่ผิดปกติทั้งหมดจะมีจำนวนเพิ่มขึ้นเมื่อญูป์ปวยได้รับรังสีในปริมาณมากขึ้น คงแสดงในตารางที่ 13

ตารางที่ 13 แลดองโกรโนโซมที่ผิดปกติในผู้ป่วยคนที่ 6

รังสี ยูวีรังคนที่ 6 ขนาดของ รังสี (rads)	จำนวน เม็ดเซลล์	chromatid break or gap	chromosome break or gap							จำนวน โกรโนโซม ที่ผิด ปกติ %	จำนวน ring %	จำนวน dicentric %	จำนวน acentric %	จำนวน โกรโนโซม ที่ผิดปกติ %	จำนวน ร่าง กาย %		
			กลุ่มโกรโนโซม														
			A	B	C	D	E	F	G	A	B	C	D	E	F	G	
0	100	1 0 0 0 0 0 0	0 0 0 0 0 0 0	0 0 0 0 0 0 0	0 0 0 0 0 0 0	0 0 0 0 0 0 0	0 0 0 0 0 0 0	0 0 0 0 0 0 0	0 0 0 0 0 0 0	1	0	0	0	0	0	1	6,5
200	100	1 1 2 0 0 0 0	0 1 1 2 0 0 0	0 0 0 0 0 0 0	0 0 0 0 0 0 0	0 0 0 0 0 0 0	0 0 0 0 0 0 0	0 0 0 0 0 0 0	0 0 0 0 0 0 0	8	0	3	1	12	+	+	
400	100	1 3 4 0 0 0 0	0 1 2 0 0 0 0	0 0 0 0 0 0 0	0 0 0 0 0 0 0	0 0 0 0 0 0 0	0 0 0 0 0 0 0	0 0 0 0 0 0 0	0 0 0 0 0 0 0	11	0	7	3	21	+	+	
800	100	2 3 5 0 0 0 0	1 2 3 0 0 0 0	0 0 0 0 0 0 0	0 0 0 0 0 0 0	0 0 0 0 0 0 0	0 0 0 0 0 0 0	0 0 0 0 0 0 0	0 0 0 0 0 0 0	16	0	10	3	29	+	+	
1600	100	2 3 6 1 0 0 0	1 3 4 0 0 0 0	0 0 0 0 0 0 0	0 0 0 0 0 0 0	0 0 0 0 0 0 0	0 0 0 0 0 0 0	0 0 0 0 0 0 0	0 0 0 0 0 0 0	20	0	10	4	34	54	54	
3200	100	2 5 6 1 0 0 0	1 3 3 0 0 0 0	0 0 0 0 0 0 0	0 0 0 0 0 0 0	0 0 0 0 0 0 0	0 0 0 0 0 0 0	0 0 0 0 0 0 0	0 0 0 0 0 0 0	21	0	14	4	39	42	42	
*4000	-	- - - - - - - -	- - - - - - - -	- - - - - - - -	- - - - - - - -	- - - - - - - -	- - - - - - - -	- - - - - - - -	- - - - - - - -	-	-	-	-	-	-	4,00	

* ไม่มีเซลล์เม็ดเลือกขาวเจริญ เมื่อได้รับปริมาณรังสี 4,000 rads

+ ไม่หล่อหลอมให้เป็นรูปต่อเนื่อง.

ผู้ป่วยคนที่ 7 อายุ 40 ปี

พบว่าโครโนไซม์ที่หักในผู้ป่วยก่อนได้รับรังสี

มีเพียง 2 เปอร์เซ็นต์ การหักของโครโนไซม์จะเพิ่มขึ้นเมื่อผู้ป่วยได้รับปริมาณรังสีเพิ่มขึ้น การหักของโครโนไซม์แบบ chromatid break หรือ chromatid gap มีมากกว่าการหักของโครโนไซม์แบบ chromosome break หรือ chromosome gap การหักของโครโนไซม์กลุ่ม C พบได้มากกว่าในโครโนไซม์กลุ่มอื่น

โครโนไซม์ที่มีลักษณะผิดปกติ เช่น dicentric chromosome, acentric chromosome และ ring chromosome จะไม่พบในผู้ป่วยก่อนรับรังสีจะพบ dicentric chromosome ในผู้ป่วยที่ได้รับปริมาณรังสี 200 rads และมีจำนวนเพิ่มขึ้นเมื่อได้รับปริมาณรังสีเพิ่มขึ้น ส่วน ring chromosome พบในผู้ป่วยที่ได้รับปริมาณรังสี 1,600 rads acentric chromosome พบในผู้ป่วยที่ได้รับปริมาณรังสี 200 rads ขึ้นไป

ในผู้ป่วยนี้ เมื่อได้รับปริมาณรังสี 4,000 rads จะไม่พบเซลล์เม็ดเลือดขาวเจริญเลย เมื่อรวมรวมโครโนไซม์ที่ผิดปกติทั้งหมด พบว่าโครโนไซม์ที่ผิดปกติทั้งหมดจะมีจำนวนเพิ่มขึ้นเมื่อผู้ป่วยได้รับรังสีในปริมาณมากขึ้น ถังแสดงในตารางที่ 14

ตารางที่ 14 แสดงโครโนโซมที่ผิดปกติในสัปปายคนที่ 7

อัตราส่วนค่าที่ 7 ขนาดของ รังสี (rads)	จำนวน เม็ดกาฬ	chromatid break or gap							chromosome break or gap							จำนวน โครโนโซม ที่หัก %	จำนวน ring %	จำนวน dicentric %	จำนวน acentric %	จำนวน โครโนโซม ที่ผิดปกติ%	อัตราส่วน เม็ดกาฬ ต่อรังสี / รุน						
		กลุ่มโครโนโซม							กลุ่มโครโนโซม																		
		A	B	C	D	E	F	G	A	B	C	D	E	F	G												
0	100	1	0	0	0	0	0	0	1	0	0	0	0	0	0	2	0	0	0	0	2	6,330					
200	100	1	2	2	0	0	0	0	0	2	2	0	0	0	0	0	3	0	4	2	15	+					
400	100	1	3	3	0	0	0	0	1	2	2	0	0	0	0	12	0	10	3	25	+						
800	100	2	3	4	1	0	0	0	1	2	2	0	0	0	0	18	0	11	2	28	+						
1600	100	2	2	5	2	1	0	0	1	2	3	0	0	0	0	18	1	11	3	33	59%						
3200	100	2	4	6	0	0	0	0	1	3	5	0	0	0	0	21	0	13	3	37	4,800						
*4000	-	-	-	-	-	-	-	-	-	-	-	-	-	-	-	-	-	-	-	-	4,100						

* ในเมื่อเซลล์เม็ดเลือดขาวเจริญ เมื่อได้รับปริมาณรังสี 4,000 rads

+ ปัจจัยทำให้การฟื้นฟูดีดีลดลง.

ผู้ป่วยคนที่ 8 อายุ 37 ปี

พบว่า โครโนไซม์ที่หักในผู้ป่วยก่อนได้รับรังสี

มีเพียง 4 เปอร์เซ็นต์ การหักของโครโนไซม์จะเพิ่มขึ้นเมื่อผู้ป่วยได้รับปริมาณรังสีเพิ่มขึ้น การหักของโครโนไซม์แบบ chromatid break หรือ chromatid gap มีมากกว่า การหักของโครโนไซม์แบบ chromosome break หรือ chromosome gap การหักของโครโนไซม์กลุ่ม C พบได้มากกว่าในโครโนไซม์กลุ่ม A

โครโนไซม์ที่มีลักษณะผิดปกติ เช่น dicentric chromosome, acentric chromosome และ ring chromosome จะไม่พบในผู้ป่วยก่อนรับรังสี แต่พบ dicentric chromosome ในผู้ป่วยที่ได้รับปริมาณรังสี 200 rads และมีจำนวนเพิ่มขึ้นเมื่อผู้ป่วยได้รับปริมาณรังสีเพิ่มขึ้น ส่วน ring chromosome จะไม่พบในผู้ป่วยรายนี้เลย ไม่ว่าจะได้รับปริมาณรังสีขนาดใด acentric chromosome พบในผู้ป่วยที่ได้รับปริมาณรังสี 200 rads เพิ่มไป

ในผู้ป่วยนี้ เมื่อได้รับปริมาณรังสี 4,000 rads จะไม่พบเซลล์เม็ดเลือดขาวเจริญเลย เมื่อรวมรวมโครโนไซม์ที่ผิดปกติทั้งหมด พบว่า โครโนไซม์ที่ผิดปกติทั้งหมด จะมีจำนวนเพิ่มขึ้นเมื่อผู้ป่วยได้รับรังสีในปริมาณมากขึ้น คังແສກในตารางที่ 15

ตารางที่ 15 แสดงโครงโนไซม์พิคปักที่ในผู้ป่วยคนที่ 8

ผู้ป่วยคนที่ 8 ขนาดของ รังสี (rads)	จำนวน เมกกะเฟลต์	chromatid break or gap							chromosome break or gap							โครงโนไซม์ ที่หัก %	จำนวน ring %	จำนวน dicentric %	จำนวน acentric %	จำนวน โครงโนไซม์ ที่พิคปัก %	จำนวน เมกกะ เฟลต์ ที่หัก %						
		กลุ่มโครงโนไซม์							กลุ่มโครงโนไซม์																		
		A	B	C	D	E	F	G	A	B	C	D	E	F	G												
0	100	1	0	2	0	0	0	0	0	0	1	0	0	0	0	4	0	0	0	0	4	5					
200	100	1	1	2	0	0	0	0	1	1	2	0	0	0	0	8	0	4	1	13	13	1					
400	100	2	3	4	0	0	0	0	1	1	2	0	0	0	0	13	0	8	2	23	23	1					
800	100	2	4	5	0	0	0	0	0	3	3	0	0	0	0	17	0	8	3	28	28	1					
1600	100	2	4	5	0	0	0	0	1	3	3	0	0	0	0	18	0	13	3	34	34	1					
3200	100	2	4	4	1	1	0	0	1	3	3	0	0	0	0	19	0	13	5	37	45	1					
*4000	-	-	-	-	-	-	-	-	-	-	-	-	-	-	-	-	-	-	-	-	4,10						

* ไม่มีเซลล์เม็ดเลือดขาวเจริญ เนื่องจากปริมาณรังสี 4,000 rads

+ ยกเว้นการผ่านชั้นหนา, มีตัวอย่าง.

ผู้ป่วยคนที่ 9 อายุ 42 ปี

พบว่า โครโน่ ไซม์ที่หักในผู้ป่วยก่อนได้รับรังสี

มีเพียง 4 เปอร์เซ็น การหักของโครโน่ ไซม์จะเพิ่มขึ้นเมื่อผู้ป่วยได้รับปริมาณรังสีเพิ่มขึ้น การหักของโครโน่ ไซม์แบบ chromatid break หรือ chromatid gap มีมากกว่าการหักของโครโน่ ไซม์แบบ chromosome break หรือ chromosome gap การหักของโครโน่ ไซม์กลุ่ม C พบได้มากกว่าในโครโน่ ไซม์กลุ่ม A

โครโน่ ไซม์ที่มีลักษณะผิดปกติ เช่น dicentric chromosome, acentric chromosome และ ring chromosome จะไม่พบในผู้ป่วยก่อนรับรังสี, จะพบ dicentric chromosome ในผู้ป่วยที่ได้รับปริมาณรังสี 200 rads และมีจำนวนเพิ่มขึ้นเมื่อคนไข้ได้รับรังสีปริมาณเพิ่มขึ้น ส่วน ring chromosome พบในผู้ป่วยที่ได้รับปริมาณรังสีขนาด 3,200 rads acentric chromosome พบในผู้ป่วยที่ได้รับปริมาณรังสี 200 rads

เมื่อรวมรวมโครโน่ ไซม์ที่ผิดปกติทั้งหมด พบว่า โครโน่ ไซม์ที่ผิดปกติทั้งหมด จะมีจำนวนเพิ่มขึ้นเมื่อผู้ป่วยได้รับรังสีในปริมาณมากขึ้น คังແສກในตารางที่ 16

ตารางที่ 16 แสดงโครงโน้มที่นิคปกติใน หน้าที่ 9

จำนวน รังสี (rads)	จำนวน เม็ดกาฬ	chromatid break or gap							chromosome break or gap							จำนวน โครงโน้ม ทั้งหมด %	จำนวน ring %	จำนวน dicentric %	จำนวน acentric %	จำนวน โครงโน้มที่นิคปกติ %					
		กลุ่มโครงโน้ม							กลุ่มโครงโน้ม																
		A	B	C	D	E	F	G	A	B	C	D	E	F	G										
0	100	1	1	1	0	0	0	0	1	0	0	0	0	0	0	4	0	0	0	0	4				
200	100	2	2	2	0	0	0	0	1	1	0	0	0	0	0	8	0	6	1	15	15				
400	100	3	3	4	0	0	0	0	1	1	1	0	0	0	0	13	0	7	2	22	22				
800	100	3	2	4	0	0	0	0	1	1	3	0	0	0	0	14	0	10	4	28	28				
1600	100	2	3	4	2	2	0	0	2	2	1	0	0	0	0	18	0	14	4	36	36				
3200	100	3	4	2	0	0	0	0	2	2	1	0	0	0	0	14	1	12	3	30	30				
4000	100	2	5	6	0	0	0	0	2	3	3	0	0	0	0	22	0	12	2	36	36				

* ค่าร้อยละของเม็ดกาฬทั้งหมด.

ผู้ป่วยคนที่ 10 อายุ 31 ปี

พบว่าโครโนโซมที่หักในผู้ป่วยก่อนได้รับรังสี

มีเพียง 5 เบอร์เซ็นต์ การหักของโครโนโซมจะเพิ่มขึ้นเมื่อผู้ป่วยได้รับ
ปริมาณรังสีเพิ่มขึ้น การหักของโครโนโซมแบบ chromatid break หรือ chromatid
gap มีมากกว่าการหักของโครโนโซมแบบ chromosome break หรือ chromosome
gap การหักของโครโนโซมกลุ่ม C พบได้มากกว่าในโครโนโซมกลุ่มอื่น

โครโนโซมที่มีลักษณะผิดปกติ เช่น dicentric chromosome, acentric
chromosome และ ring chromosome จะไม่พบในผู้ป่วยก่อนรับรังสี จะพบ dicentric
chromosome ในผู้ป่วยที่ได้รับปริมาณรังสี 200 rads และมีจำนวนเพิ่มขึ้นเมื่อผู้ป่วย
ได้รับปริมาณรังสีเพิ่มขึ้น ส่วน ring chromosome พบในผู้ป่วยที่ได้รับปริมาณรังสี
800 rads acentric chromosome พบในผู้ป่วยที่ได้รับปริมาณรังสีมาก 200
rads ขึ้นไป

เนื้อร่วนร่วนโครโนโซมที่ผิดปกติทั้งหมด พบว่าโครโนโซมที่ผิดปกติทั้งหมด
จะมีจำนวนเพิ่มขึ้นเมื่อผู้ป่วยได้รับรังสีในปริมาณมากขึ้น คังແສກในตารางที่ 17

ตารางที่ 17 แสดง โครงโน้มีซึมที่ผิดปกติในผู้ป่วยคนที่ 10

ผู้ป่วยคนที่ 10 ขนาดของ รังสี (rads)	จำนวน เม็ดยาเพลส	chromatid break or gap							chromosome break or gap							จำนวน โครงโน้ม ที่หาย %	จำนวน ring %	จำนวน dicentric %	จำนวน acentric %	จำนวน โครงโน้ม ที่ผิดปกติ %					
		กลุ่มโครงโน้ม							กลุ่มโครงโน้ม																
		A	B	C	D	E	F	G	A	B	C	D	E	F	G										
0	100	2	2	0	0	0	0	0	0	0	1	0	0	0	0	5	0	0	0	0	5				
200	100	1	2	3	0	0	0	0	1	0	2	0	0	0	0	3	0	4	1	14					
400	100	1	2	3	0	0	0	0	2	2	1	0	0	0	0	11	0	9	2	22					
800	100	0	2	3	4	0	0	0	1	3	4	0	0	0	0	15	1	11	3	30					
1600	100	2	4	6	0	0	0	0	1	3	4	0	0	0	0	20	0	10	5	35					
3200	100	2	4	5	1	1	0	0	0	2	4	1	0	0	0	20	0	12	5	37					
4000	100	3	3	6	1	0	0	0	2	2	3	1	0	0	0	21	0	12	4	37					

f. ผู้ป่วยที่รับการรักษาด้วยยาเคมีบำบัด

ตารางที่ 18 แสดงจำนวนໂຄຣໂນໂໝນທີ່ຜົດປົກທັງໝາດໃນປະມາຍຮັງສື່ຂາດຕາງ ๆ ກັນ
(ທອ 100 ເມຕາເຟສ)

ຄົນທີ່ rads	1	2	3	4	5	6	7	8	9	10
0	3	3	6	3	3	1	2	4	4	5
200	13	16	12	13	11	12	15	13	15	14
400	23	24	25	25	26	21	25	23	22	22
800	31	28	25	30	27	29	28	28	28	30
1600	36	34	33	33	34	34	33	34	36	35
3200	39	39	34	39	37	39	37	37	30	37
4000	-	-	34	-	33	-	-	-	36	37

ตารางที่ 19 แสดงจำนวนກາຮັກຂອງໂຄຣໂນໂໝນທັງໝາດໃນປະມາຍຮັງສື່ຂາດຕາງ ๆ ກັນ
(ທອ 100 ເມຕາເຟສ)

ຄົນທີ່ rads	1	2	3	4	5	6	7	8	9	10
0	3	3	6	3	3	1	2	4	4	5
200	8	11	8	9	8	8	9	8	8	9
400	15	11	14	14	13	11	12	13	13	11
800	16	15	11	15	10	16	15	17	14	15
1600	20	19	21	18	21	20	18	18	18	20
3200	22	20	21	24	21	21	21	19	14	20
4000	-	-	17	-	17	-	-	-	22	21

จากข้อมูลที่ได้ไปป่วยสั้น 10 คน จะเห็นว่าไม่เกี่ยวกับความแตกต่างกัน เพราะฉะนั้นจึงถือว่าแฟลล์คนเป็นจำนวนข้าของภาระวิจัย และเนื่องจากว่าผู้ป่วยแฟลล์คนที่ได้รับการรักษาโดยมีความเร่งด่วนรังสีมีสภาพแวดล้อมทาง ๆ เมื่อกันก็คือ ผู้ป่วยทุกคนพักรักษาอยู่ในโรงพยาบาล ปริมาณรังสีที่ได้รับมีปริมาณเท่ากัน

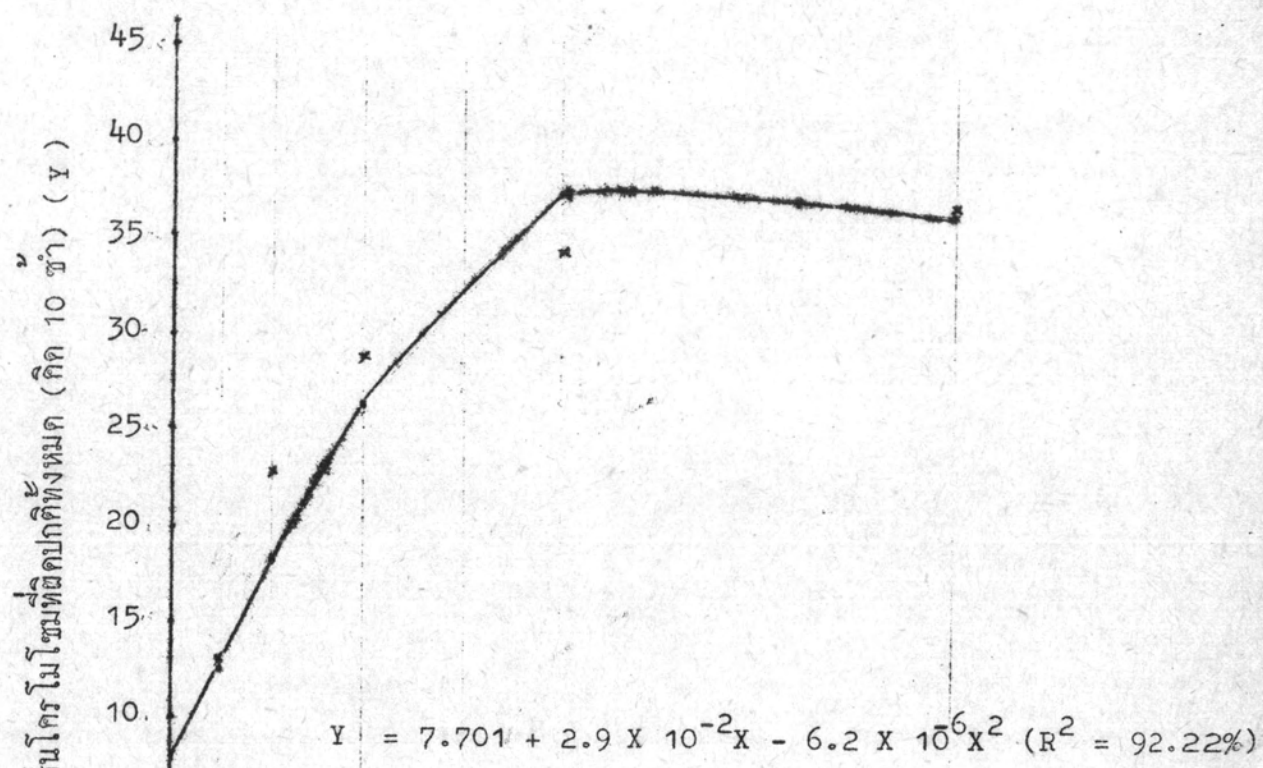
ผลการวิจัยเมื่อนำเอาจำนวนของโครโนโซมที่ผิดปกติทั้งหมดในผู้ป่วยที่ได้รับปริมาณรังสีขนาดกลาง ๆ กัน คัดแยกในตารางที่ 18 มาศึกษาทางสถิติ โดยคิด 2 ครั้ง ครั้งแรกคิดจากผู้ป่วยที่ได้รับปริมาณรังสี 0 ถึง 3,200 rads โดยคิดจาก 10 ชั้น (คนไข้ทั้งหมด 10 คน) และครั้งที่ 2 คิดจากผู้ป่วยที่ได้รับปริมาณรังสี 0 ถึง 4,000 rads โดยคิดจาก 4 ชั้น คือผู้ป่วยคนที่ 3, 5, 9 และคนที่ 10

เมื่อคิดจากผู้ป่วยที่ได้รับปริมาณรังสี 0 ถึง 3,200 rads คำนวณของความผิดปกติของโครโนโซมทั้งหมดในแต่ละปริมาณรังสีที่ผู้ป่วยได้รับ (0, 200, 400, 800, 1,600, 3,200 rads) มีจำนวนแตกต่างกันอย่างมีนัยสำคัญทางสถิติ ที่ระดับความเชื่อมั่น 99 % โดยที่จำนวนโครโนโซมที่ผิดปกติทั้งหมดเมื่อผู้ป่วยได้รับปริมาณรังสีขนาด 1,600 และ 3,200 rads มีจำนวนไม่แตกต่างกัน คัดแยกในตารางที่ 20, 21

เมื่อกำหนดหาสหสัมพันธ์ของจำนวนโครโนโซมที่ผิดปกติทั้งหมดกับปริมาณรังสีที่ผู้ป่วยได้รับ พนวณจำนวนโครโนโซมที่ผิดปกติทั้งหมดมีสหสัมพันธ์ (correlation) กับปริมาณรังสีที่ผู้ป่วยได้รับ โดยมีสมการรีเกรชันแบบ quadatic regression,

$$Y = 7.701 + 2.9 \times 10^{-2}x - 6.2 \times 10^{-6}x^2 \quad (R^2 = 92.22\%)$$

คัดแยกในรูปกราฟที่ 7)



รูปกราฟที่ 7 ขนาดครั้งสี่ (X) rads

X	Y	Y (cal)
0	3.4	7.702
200	13.4	13.211
400	23.6	18.223
800	28.4	26.752
1600	34.2	37.832
3200	36.8	36.079

ตารางที่ 20 แสดงจำนวนโครโน่โอมที่ผิดปกติหั้งหมกในปริมาณรังสีชนิดต่าง ๆ ท่อ 100 เมตรอาฟส์ นำมาระบันว่าพืชทางสถิติ

Analysis of Variance (คิดจากข้อมูลฟู๊บ 10 คน ขนาดรังสีที่ได้รับ 0-3,200 rads)

Source of variation	D.F.	Sum of squares	mean squares	F-value
Total	59	133.064819		
Replication	9	0.3371211	0.0374579	
Treatments	5	130.03867	26.007735	435.23 **
Error	45	2.6890217	0.05975603	

Coefficient of variation = 5.3 %

ตารางที่ 21 Table of Means (Averaged over 10 reps.)

Treatment no.	Treatment (rads)	Rank	Mean	DMRT *
1	0	1	3.4	a
2	200	2	13.4	b
3	400	3	23.6	c
4	800	4	28.4	d
5	1600	5	34.2	e
6	3200	6	36.8	e

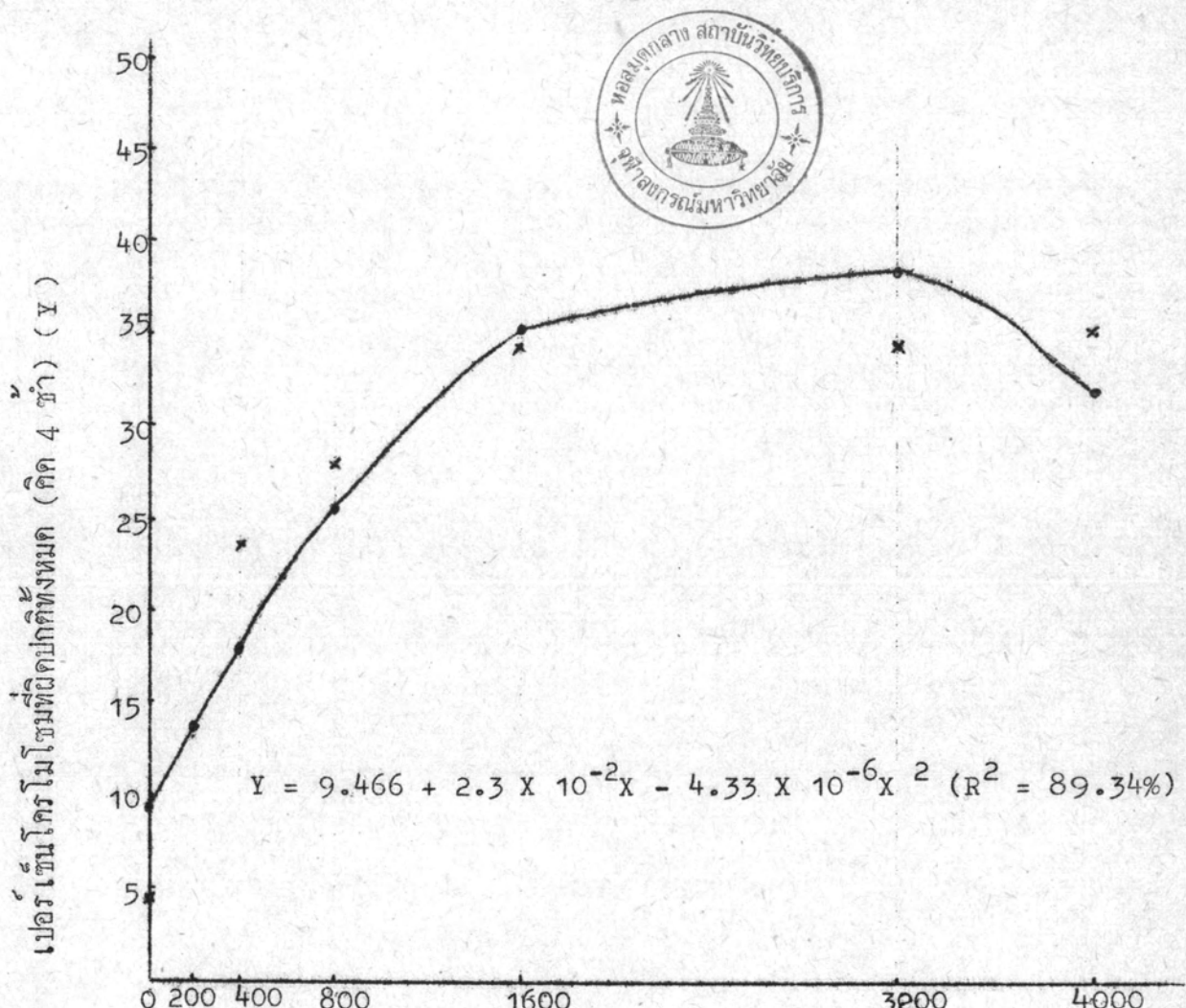
ตัวเลขที่ตามห่ายด้วยอักษรเหมือนกัน ไม่มีความแตกต่างกันทางสถิติ
ที่ระดับความเชื่อมั่นสำคัญ 95 %

* DMRT = Duncant's new multiple range test.

เมื่อคิดจำสูญป่วยที่ได้รับปริมาณรังสี 0 ถึง 4,000 rads คาดเดาถี่ของความผิดปกติของโครโนโซมทั้งหมดในแต่ละปริมาณรังสีที่สูญป่วยได้รับ (0, 200, 400, 800, 1,600, 3,200 และ 4,000 rads) มีจำนวนแตกต่างกันอย่างมีนัยสำคัญทางสถิติ ที่ระดับความเชื่อมั่น 99 % โดยที่จำนวนโครโนโซมที่ผิดปกติทั้งหมด เมื่อสูญป่วยได้รับปริมาณรังสีขนาด 1,600, 3,200 และ 4,000 rads มีจำนวนไม่แตกต่างกัน ตั้งแต่ในตารางที่ 22, 23.

เมื่อกำหนดหาสหสัมพันธ์ของจำนวนโครโนโซมที่ผิดปกติทั้งหมด กับปริมาณรังสีที่สูญป่วยได้รับ พบว่าจำนวนโครโนโซมที่ผิดปกติทั้งหมดมีสหสัมพันธ์ (correlation) กับปริมาณรังสีที่สูญป่วยได้รับ โดยมีสมการรีเกรชันแบบ quadatic regression,

$$Y = 9.466 + 2.3 \times 10^{-2}X - 4.33 \times 10^{-6}X^2 \quad (R^2 = 89.34 \%)$$
ตั้งแต่ในรูปกราฟที่ 8



รูปภาพที่ 8

ขนาดรังสี (X) rads

X	Y	Y (cal)
0	4.5	9.466
200	13.0	13.896
400	23.75	17.980
800	27.5	25.109
1600	34.5	35.213
3200	34.5	38.801
4000	35.0	32.285

ตารางที่ 22 Analysis of Variance (คิดจากข้อมูลผู้ป่วย 4 คน ขนาดรังสีที่ได้รับ 0-4,000 rads)

Source of variation	D.F.	sum of squares	mean of squares	F. value
Total	27	50.8500904		
Replication	3	0.11905777	0.0396859	
Treatments	6	49.7644235	8.2940705	154.45**
Error	18	0.966609107	0.0537005	

Coefficient of variation = 4.8 %

ตารางที่ 23 Table of means (Averaged over 4 reps)

Treatment no.	Treatment name(rads)	Rank	Mean	DMRT*
1	0	1	4.50	a.
2	200	2	13.00	b
3	400	3	23.75	c
4	800	4	27.50	d
5	1600	5	34.50	e
6	3200	6	34.50	e
7	4000	7	35.0	e

ตัวเลขที่ทางค่ายอักษรเหมือนกัน ไม่มีความแตกต่างกันทางสถิติ ที่ระดับ
ความเชื่อมั่นสําคัญ 95 %

*DMRT = Duncant's new multiple range test.

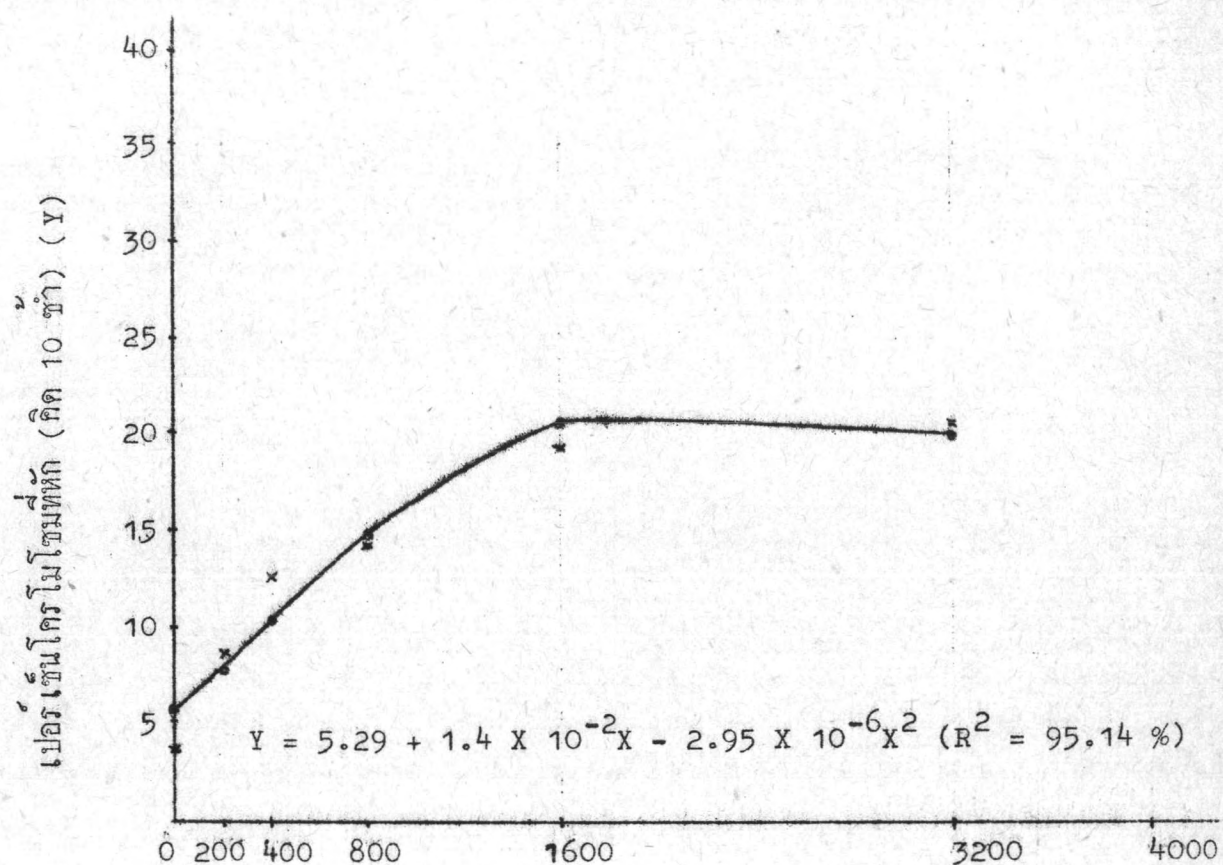
เมื่อนำเอาเฉพาะจำนวนโครโน่ไซมที่หักในผู้ป่วยที่ได้รับปริมาณรังสีขนาดต่าง ๆ กัน ทั้งแสดงในตารางที่ 19; มาศึกษาทางสถิติ โดยคิด 2 ครั้ง ครั้งแรกคิดจากผู้ป่วยที่ได้รับปริมาณรังสี 0 ถึง 3,200 rads โดยคิดจาก 10 ชั้น (ผู้ป่วยทั้ง 10 คน) และครั้งที่ 2 คิดจากผู้ป่วยที่ได้รับปริมาณรังสี 0 ถึง 4,000 rads โดยคิดจาก 4 ชั้น ผู้ป่วยจำนวนที่ 3, 5, 9 และคนที่ 10

เมื่อคิดจากผู้ป่วยที่ได้รับปริมาณรังสี 0 ถึง 3,200 rads ค่าเฉลี่ยของ โครโน่ไซมที่หักในแต่ละปริมาณรังสีที่ได้รับ (0, 200, 400, 800, 1,600, 3,200 rads) มีจำนวนแตกต่างกันอย่างมีนัยสำคัญทางสถิติ ที่ระดับความเชื่อมั่น 99 % โดยที่ จำนวนโครโน่ไซมที่หักเมื่อได้รับปริมาณรังสี 400 กับ 800 rads มีจำนวนไม่แตกต่างกัน และจำนวนโครโน่ไซมที่หักเมื่อได้รับปริมาณรังสี 1,600 กับ 3,200 rads มีจำนวนไม่แตกต่างกัน จังแสดงในตารางที่ 24, 25

เมื่อคำนวณหาสหสัมพันธ์ของจำนวนโครโน่ไซมที่หักกับปริมาณรังสีที่ผู้ป่วยได้รับ พบร่วมจำนวนโครโน่ไซมที่หักมีสหสัมพันธ์ (correlation) กับปริมาณรังสีที่ผู้ป่วยได้รับ โดยมีสมการวีเกรชั่นแบบ quadatic regression

$$Y = 5.29 + 1.4 \times 10^{-2}X - 2.55 \times 10^{-6}X^2 \quad (R^2 = 95.14\%)$$

ทั้งแสดงในรูปกราฟที่ 9



รูปภาพที่ 9

ขนาดรังสี (X) rads

X	Y	Y (cal)
0	3.4	5.290
200	8.6	7.985
400	12.7	10.444
800	14.4	14.654
1600	19.3	20.241
3200	20.3	20.086

ตารางที่ 24 แสดงจำนวนโกรไม้ไขมที่หักหง猛ในปริมาณรังสีขนาดต่าง ๆ ต่อ 100 เมตรคาเฟส นำมาคำนวณหาค่าทางสถิติ

Analysis of variance (คิดจากข้อมูลผู้ป่วย 10 คน ขนาดรังสีที่ได้รับถึง 3,200 rads)

Source of variation	D.F.	sum of squares	mean squares	F.value
Total	59	54.70485458		
Replication	9	0.46315252	0.05146139	
Treatments	5	50.77441275	10.1548825	131.79 **
Error	45	3.4672893	0.0770587	

Coefficient of variation = 7.9 %

ตารางที่ 25 Table of means (Averaged over 10 reps)

Treatment no.	Treatment name (rads)	Rank	Mean	DMRT *
1	0	1	3.40	a
2	200	2	8.60	b
3	400	3	12.70	c
4	800	4	14.40	c
5	1600	5	19.30	d
6	3200	6	20.30	d

ตัวเลขที่ตามท้ายด้วยอักษรเหมือนกัน ไม่มีความแตกต่างกันทางสถิติ
ที่ระดับความเชื่อมั่นสำคัญ 95 %

*DMRT = Duncant's multiple rang test

เมื่อคิดจากผู้ป่วยที่ได้รับปริมาณรังสี 0 ถึง 4,000 rads จำนวนเฉลี่ยของโครโนไซม์ที่หักในแต่ละปริมาณของรังสีที่ได้รับ (0, 200, 400, 800, 1,600, 3,200 และ 4,000 rads) มีจำนวนแตกต่างกันอย่างมีนัยสำคัญทางสถิติ ที่ระดับความเชื่อมั่น 99 % โดยที่จำนวนโครโนไซม์ที่หักเมื่อได้รับปริมาณรังสี 400 กับ 800 มีจำนวนไม่แตกต่างกัน และจำนวนโครโนไซม์ที่หักเมื่อได้รับปริมาณรังสี 1,600, 3,200 กับ 4,000 rads มีจำนวนไม่แตกต่างกัน คั่งตารางแสดงใน 26, 27

เมื่อคำนวณหาสหสัมพันธ์ของจำนวนโครโนไซม์ที่หักกับปริมาณรังสีที่ผู้ป่วยได้รับพบว่าจำนวนโครโนไซม์ที่หักมีสหสัมพันธ์ (correlation) กับปริมาณรังสีที่ผู้ป่วยได้รับโดยมีสมการรีเกรชันแบบ quadatic regression.

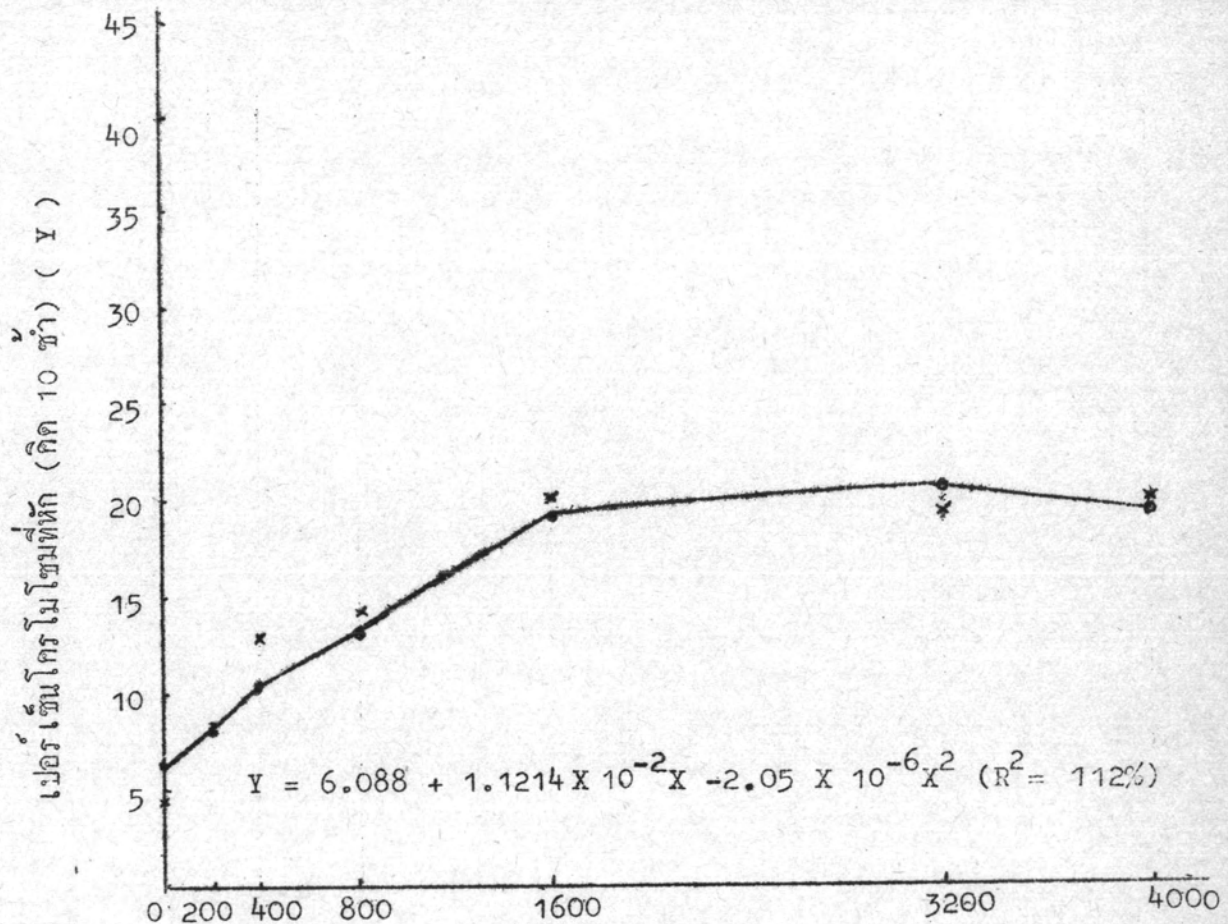
$$Y = 6.088 + 1.1214 X - 2.05 \times 10^{-6} X^2 \quad (R^2 = 92.112 \%)$$

คั่งแสดงในรูปกราฟที่ 10

ตารางที่ 26 Analysis of variance (คิดจากข้อมูลผู้ป่วย 4 คน ขนาดรังสีที่ได้รับ 0 ถึง 4,000 rads)

Source of variation	D.F.	sum of squares	mean squares	F.value
Total	27	20.3618439		
Replication	3	0.17060528	0.056868428	
Treatments	6	18.7751267	3.12918779	39.77 **
Error	18	1.416111856	0.07867288	

Coefficient of variation = 7.8 %



รูปกราฟที่ 10 ขนาดครั้งเดียว (rads) X

X	Y	Y (cal)
0	6.088	6.088
200	8.249	8.249
400	10.246	10.246
800	13.748	13.748
1600	18.784	18.784
3200	20.985	20.985
4000	18.149	18.149

ตารางที่ 27 Table of means (averaged over 4 reps)

Treatment no.	Treatment name(rads)	Rank	Mean	DMRT*
1	0	1	4.50	a
2	200	2	8.25	b
3	400	3	12.75	c
4	800	4	12.5	c
5	1600	7	20.00	d
6	3200	5	19.00	d
7	4000	6	19.25	d

ตัวเลขที่ตามห้ายากวัยอักษรเหมือนกัน ไม่มีความแตกต่างกันทางสถิติ ที่ระดับ
ความเชื่อมั่นสำคัญ 95 %

* DMRT = Duncant's multiple range test

ตารางที่ 28 แสดงจำนวน dicentric chromosome ในปริมาณรังสีขนาดต่าง ๆ กัน
(ต่อ 100 เมททาเฟส)

rads	1	2	3	4	5	6	7	8	9	10
0	0	0	0	0	0	0	0	0	0	0
200	5	4	4	4	2	3	4	4	6	4
400	6	10	10	8	10	7	10	8	7	9
800	10	10	11	11	12	10	11	8	10	11
1600	12	11	8	10	10	10	11	13	14	10
3200	12	13	10	12	12	14	13	13	12	12
4000	-	-	12	-	12	-	-	-	12	12

ตารางที่ 29 แสดงจำนวน acentric chromosome ในปริมาณรังสีขนาดต่างๆ กับ
(ต่อ 100 เมล็ดกาเฟช)

รัฐปัจจัย rads	1	2	3	4	5	6	7	8	9	10
0	0	0	0	0	0	0	0	0	0	0
200	0	1	0	0	1	2	2	1	1	1
400	2	3	1	3	3	3	3	2	2	2
800	4	3	3	4	4	2	2	3	4	3
1600	4	4	4	4	3	3	3	3	4	5
3200	4	5	2	3	4	3	3	5	3	5
4000	-	-	4	-	4	-	-	-	2	4

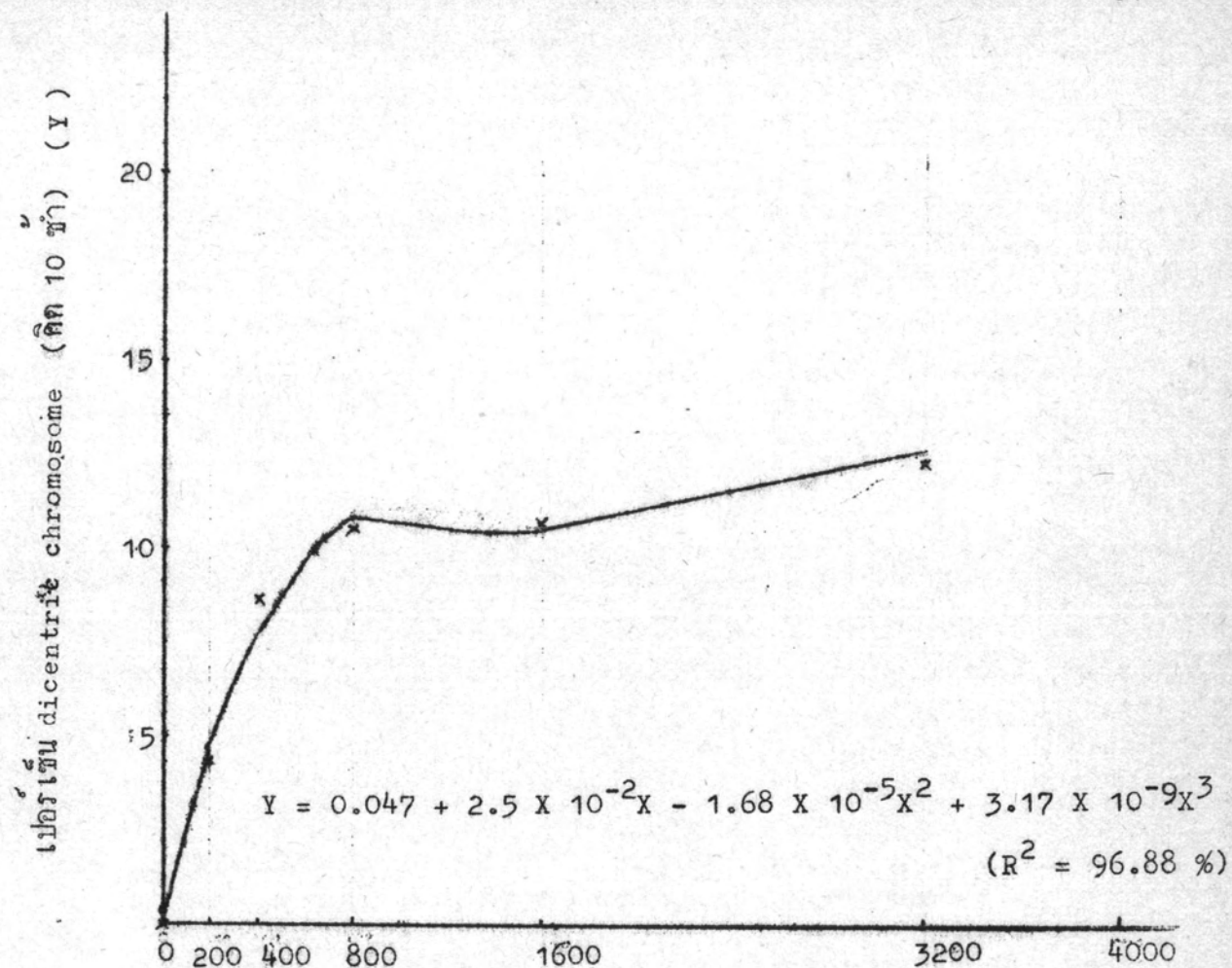
ผลการวิจัยเมื่อนำเอาเฉพาะจำนวน dicentric chromosome ในรัฐปัจจัยที่ได้รับปริมาณรังสีขนาดต่างๆ นั้น คั่งแสดงในตารางที่ 28: มาศึกษาทางสถิติโดยคิด 2 ครั้ง ครั้งแรกคิดจากรัฐปัจจัยที่ได้รับปริมาณรังสี 0 ถึง 3,200 rads โดยคิดจาก 10 ชั้น (รัฐปัจจัยทั้ง 10 คน) และครั้งที่ 2 คิดจากรัฐปัจจัยที่ได้รับปริมาณรังสี 0 ถึง 4,000 rads โดยคิดจาก 4 ชั้น คือรัฐปัจจัยคนที่ 3, 5, 9 และคนที่ 10

เมื่อคิดจากรัฐปัจจัยที่ได้รับปริมาณรังสี 0 ถึง 3,200 rads คำนวณของ dicentric chromosome ในแต่ละปริมาณรังสีที่ได้รับ (0, 200, 400, 800, 1,600 และ 3,200 rads) มีจำนวนแตกต่างกันอย่างมีนัยสำคัญทางสถิติ ที่ระดับความเชื่อมั่น 99% โดยที่จำนวน dicentric chromosome เมื่อได้รับปริมาณรังสี 800 กับ 1,600 rads มีจำนวนไม่แตกต่างกัน (คั่งแสดงในตารางที่ 30, 31)

เมื่อกำนัณหาสหสัมพันธ์ของจำนวน dicentric chromosome กับปริมาณรังสีที่รัฐปัจจัยได้รับ พบรากำนัณ dicentric chromosome มีสหสัมพันธ์ (correlation) กับปริมาณรังสีที่รัฐปัจจัยได้รับ โดยจะมีสมการวิเคราะห์แบบ cubic regression

$$Y = 0.047 + 2.5 \times 10^{-2}X - 1.68 \times 10^{-5}X^2 + 3.17 \times 10^{-9}X^3$$

$$R^2 = 96.88 \% \quad (\text{คั่งแสดงในรูปกราฟที่ } 11)$$



รูปกราฟที่ 11 ขนาดรังสี · X (rads)

X	Y	Y (cal)
0	0	0.047
200	4	4.411
400	8.5	7.586
800	10.4	10.975
1600	10.3	10.172
3200	12.3	12.308

ตารางที่ 30 แสดงจำนวน dicentric chromosome ในปริมาณรังสีขนาดต่าง ๆ กันท่อ
100 เมกโตราฟล นำมากำนวณหาค่าทางสถิติ

Analysis of variance (คิดจากข้อมูลฝ่าย 10 คน ขนาดรังสีที่ได้รับ 0-3,200 rads)

Source of variation	D.F.	sum of squares	mean squares	F.value
Total	59	90.73439959		
Replication	9	0.19509464	0.0216771828	
Treatments	5	88.3478064	17.6695612	362.82**
Error	45	2.191498468	0.04869965	

Coefficient of variation = 8.9 %

ตารางที่ 31 Table of means (Averaged over 10 reps)

Treatment no.	Treatment name(rads)	Rank	Mean	DMRT *
1	0	1	0.00	a
2	200	2	4.00	b
3	400	3	8.50	c
4	800	4	10.40	d
5	1600	5	10.90	d
6	3200	6	12.30	e

ตัวเลขที่คำนวณหาด้วยอัตราส่วนต่อหน่วยกันกัน ไม่มีความแตกต่างกันทางสถิติ ที่ระดับ
ความเชื่อมั่นสำคัญ 95 %

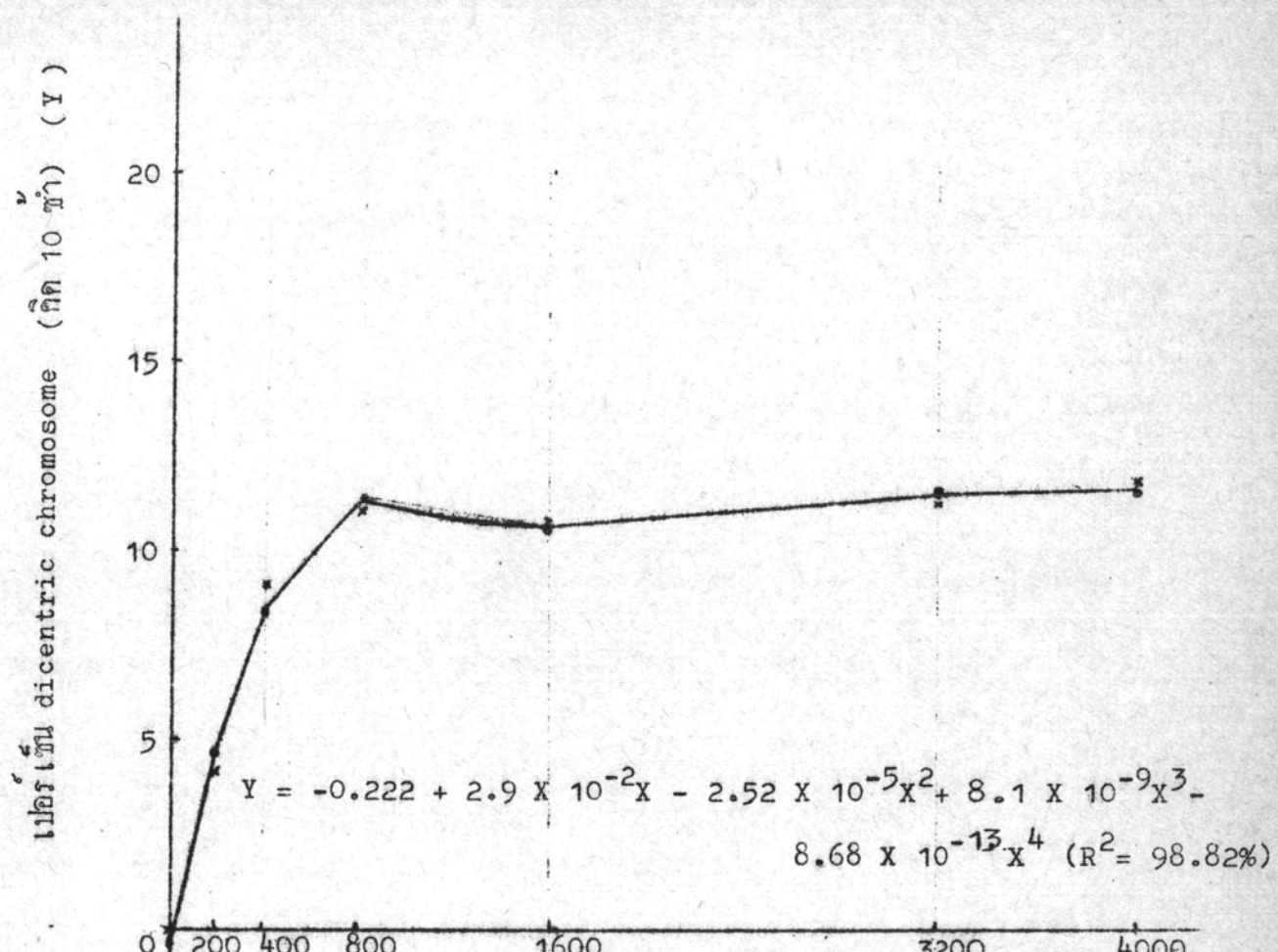
* DMRT = Duncant's multiple range test

เมื่อคิดจากนั้นที่ได้รับปริมาณรังสี 0 ถึง 4,000 rads ค่าเฉลี่ยของ dicentric chromosome ในแต่ละปริมาณรังสีที่ผู้ป่วยได้รับ (0, 200, 400, 800, 1,600, 3,200 และ 4,000 rads) มีจำนวนแตกต่างกันอย่างมีนัยสำคัญทางสถิติ ที่ระดับความเชื่อมั่น 99 % โดยที่จำนวน dicentric chromosome เมื่อผู้ป่วยได้รับปริมาณรังสีขนาด 400, 800, 1,600 กับ 3,200 rads มีจำนวนไม่แตกต่างกัน และ จำนวน dicentric chromosome เมื่อผู้ป่วยได้รับปริมาณรังสีขนาด 800, 1,600, 3,200 กับ 4,000 มีจำนวนไม่แตกต่างกัน ดังแสดงในตารางที่ 32, 33

เมื่อคำนวณหาสหสัมพันธ์ของจำนวน dicentric chromosome กับปริมาณรังสีที่ผู้ป่วยได้รับ พบร่วมจำนวน dicentric chromosome มีสหสัมพันธ์ (correlation) กับปริมาณรังสีที่ผู้ป่วยได้รับ โดยมีสมการวีเกอร์ชั้นแบบ quatic regression

$$Y = -0.222 + 2.9 \times 10^{-2} X - 2.52 \times 10^{-5} X^2 + 8.1 \times 10^{-9} X^3 -$$

$$8.68 \times 10^{-13} X^4 \quad (R^2=98.82\%) \quad (\text{ดังแสดงในรูปกราฟที่ } 12)$$



รูปกราฟที่ 12 ขนาดรังสี (X) rads

X (rads)	Y (%)	Y (cal)
0	0	-0.222
200	4	4.7999
400	9	8.1200
800	11	11.296
1600	10.5	10.451
3200	11.5	11.506
4000	12	11.998

ตารางที่ 32 Analysis of variance (คิดจากข้อมูลพัฒนา 4 คน, ขนาดรังสีที่ได้รับ 0 ถึง 4,000 rads)

Source of variation	D.F.	sum of squares	mean squares	F.value
Total	27	39.59098275		
Replication	3	0.07969354	0.0265645	
Treatments	6	38.32655055	6.387758	97.05 **
Error	18	1.18473864	0.0658188	

Coefficient of variation = 9.8 %

ตารางที่ 33 Table of means (averaged over 4 reps)

Treatment no.	Treatment name(rads)	Rank	Mean	DMRT*
1	0	1	0.00	a
2	200	2	4.00	b
3	400	3	9.00	c
4	800	5	11.00	cd
5	1600	4	10.50	cd
6	3200	6	11.50	cd
7	4000	7	12.00	d

ตัวเลขที่ตามห้ายกเว็บอักษรเหมือนกัน ไม่มีความแตกต่างกันทางสถิติ ทั้งคู่นี้ ความเชื่อมั่น 95 %

* DMRT = Duncant's multiple range test.

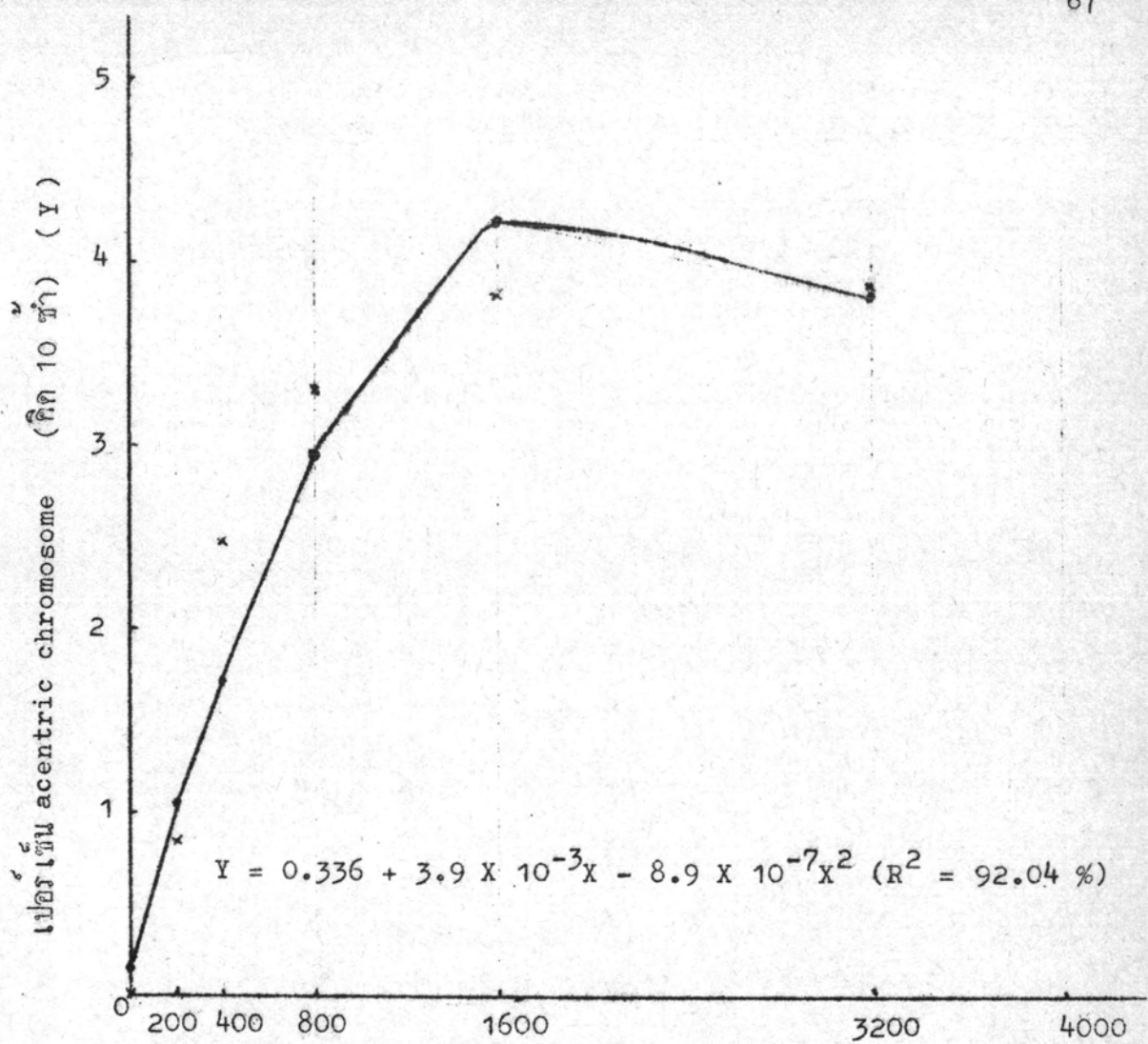
ผลการวิจัยเมื่อนำเอาเฉพาะจำนวน acentric chromosome ในผู้ป่วยที่ได้รับปริมาณรังสีขนาดต่าง ๆ กัน ดังแสดงในตารางที่ 29 มาศึกษาทางสถิติ โดยคิด 2 ครั้ง ครั้งแรกคิดจากผู้ป่วยที่ได้รับปริมาณรังสี 0 ถึง 3,200 rads โดยคิดจาก 10 ชั้น ผู้ป่วยทั้ง 10 คน และครั้งที่ 2 คิดจากผู้ป่วยที่ได้รับปริมาณรังสี 0 ถึง 4,000 โดยคิดจาก 4 ชั้น คือ คนที่ 3, 5, 9 และคนที่ 10

เมื่อคิดจากผู้ป่วยที่ได้รับปริมาณรังสี 0 ถึง 3,200 rads ให้วิเคราะห์เฉลี่ยของ acentric chromosome ในแต่ละปริมาณรังสีที่ผู้ป่วยได้รับ (0, 200, 400, 800, 1,600 และ 3,200 rads) มีจำนวนแตกต่างกันอย่างมีนัยสำคัญทางสถิติ ที่ระดับความเชื่อมั่น 99 % โดยที่จำนวน acentric chromosome เมื่อผู้ป่วยได้รับปริมาณรังสีขนาด 800, 1,600 กับ 3,200 rads มีจำนวนไม่แตกต่างกัน ดังแสดงในตารางที่ 34, 35

เมื่อยกจำนวนหาสหสัมพันธ์ของจำนวน acentric chromosome กับปริมาณรังสีที่ผู้ป่วยได้รับ พบร่วมจำนวน acentric chromosome มีสหสัมพันธ์ (correlation) กับปริมาณรังสีที่ผู้ป่วยได้รับ โดยมีสมการรีเกรชันแบบ quadatic regression

$$Y = 0.336 + 3.9 \times 10^{-3}X - 8.5 \times 10^{-7}X^2 \quad (R^2 = 92.04 \%)$$

ดังแสดงในรูปกราฟที่ 13.



รูปกราฟที่ 13 ขนาดรังสี (X) rads

X	Y	Y (cal)
0	0	0.336
200	0.8	1.085
400	2.4	1.761
800	3.3	2.898
1600	3.8	4.314
3200	3.8	3.705

ตารางที่ 34 แสดงจำนวนacentric chromosome ในปริมาณรังสีขนาดต่าง ๆ ท่อ 100 เมทคาเฟส นำมารคำนวณหาค่าทางสถิติ

Analysis of variance (คิดจากข้อมูลอยู่ปัจจุบัน 10 คน ขนาดรังสีที่ได้รับ 0 ถึง 3,200 rads)

Source of variation	D.F.	sum of squares	mean squares	F.value
Total	59	35.51251026		
Replication	9	0.8975874	0.09973193	
Treatments	5	31.22141840	6.24428368	82.80**
Error	45	3.39350445	0.07541121	

Coefficient of variation = 20.7 %

ตารางที่ 35 Table of means (Averaged over 10 reps)

Treatment no	Treatment name(rads)	Rank	Mean	DMRT *
1	0	1	0.00	a
2	200	2	0.80	b
3	400	3	2.40	c
4	800	4	3.30	d
5	1600	5	3.80	d
6	3200	6	3.80	d

ตัวเลขที่ตามห้ามอักษรที่เหมือนกัน ในมีความแตกต่างกันทางสถิติ ที่ระดับความเชื่อมั่นสำคัญ 95 %

* DMRT = Duncant's multiple range test.

เมื่อคิดจากผู้ป่วยที่ได้รับปริมาณรังสี ๐ ถึง 4,000 rads ค่าเฉลี่ยของ acentric chromosome ในแหล่งปริมาณรังสีที่ผู้ป่วยได้รับ (๐, 200, 400, 800, 1,600, 3,200 และ 4,000 rads) มีจำนวนแตกต่างกันอย่างมีนัยสำคัญ ที่ระดับความเชื่อมั่น 99 % โดยมีจำนวน acentric chromosome เมื่อผู้ป่วยได้รับปริมาณรังสีขนาด 800, 1,600, 3,200 กับ 4,000 มีจำนวนในแตกต่างกัน คังแสกงในตารางที่ 36, 37.

เมื่อกำหนดหาสหสัมพันธ์ของจำนวน acentric chromosome กับปริมาณที่ผู้ป่วยได้รับ พบว่าจำนวน acentric chromosome มีสหสัมพันธ์กับปริมาณรังสีที่ผู้ป่วยได้รับ โดยจะมีสมการรีเกression แบบ quadatic regression คังรูปที่ 8

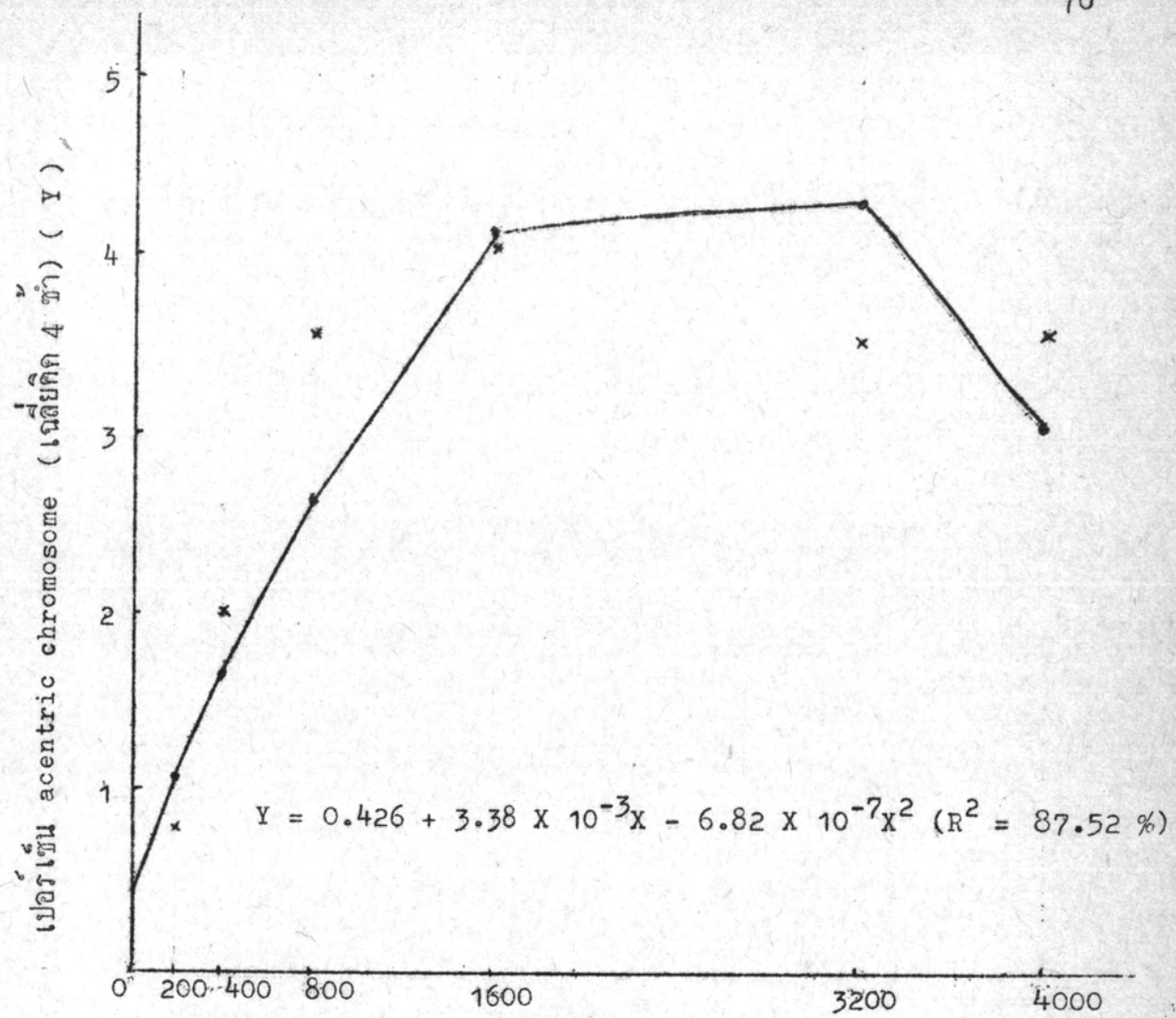
$$Y = 0.426 + 3.38 \times 10^{-3}X - 6.82 \times 10^{-7}X^2 \quad (R^2 = 87.52 \%)$$

(คังแสกงในรูปกราฟที่ 14)

ตารางที่ 36 Analysis of variance (คิดจากข้อมูลผู้ป่วย 4 คน ขนาดรังสีที่ได้รับ ๐ ถึง 4,000 rads)

Source of variation	D.F.	sum of squares	mean squares	F.value
Total	27	15.26409039		
Replication	3	0.551548904	0.183849634	
Treatments	6	13.41209998	2.235349998	30.94 **
Error	18	1.300441504	0.0722467502	

Coefficient of variation = 19.4 %



ຮັບກາພີ 14

ຂາດຮັງສື (X) rads

X	Y	Y (cal)
0	0	0.426
200	0.75	1.075
400	2	1.669
800	3.5	2.695
1600	4	4.089
3200	3.5	4.259
4000	3.5	3.034

ตารางที่ 37 Table of means (Averaged over 4 Reps)

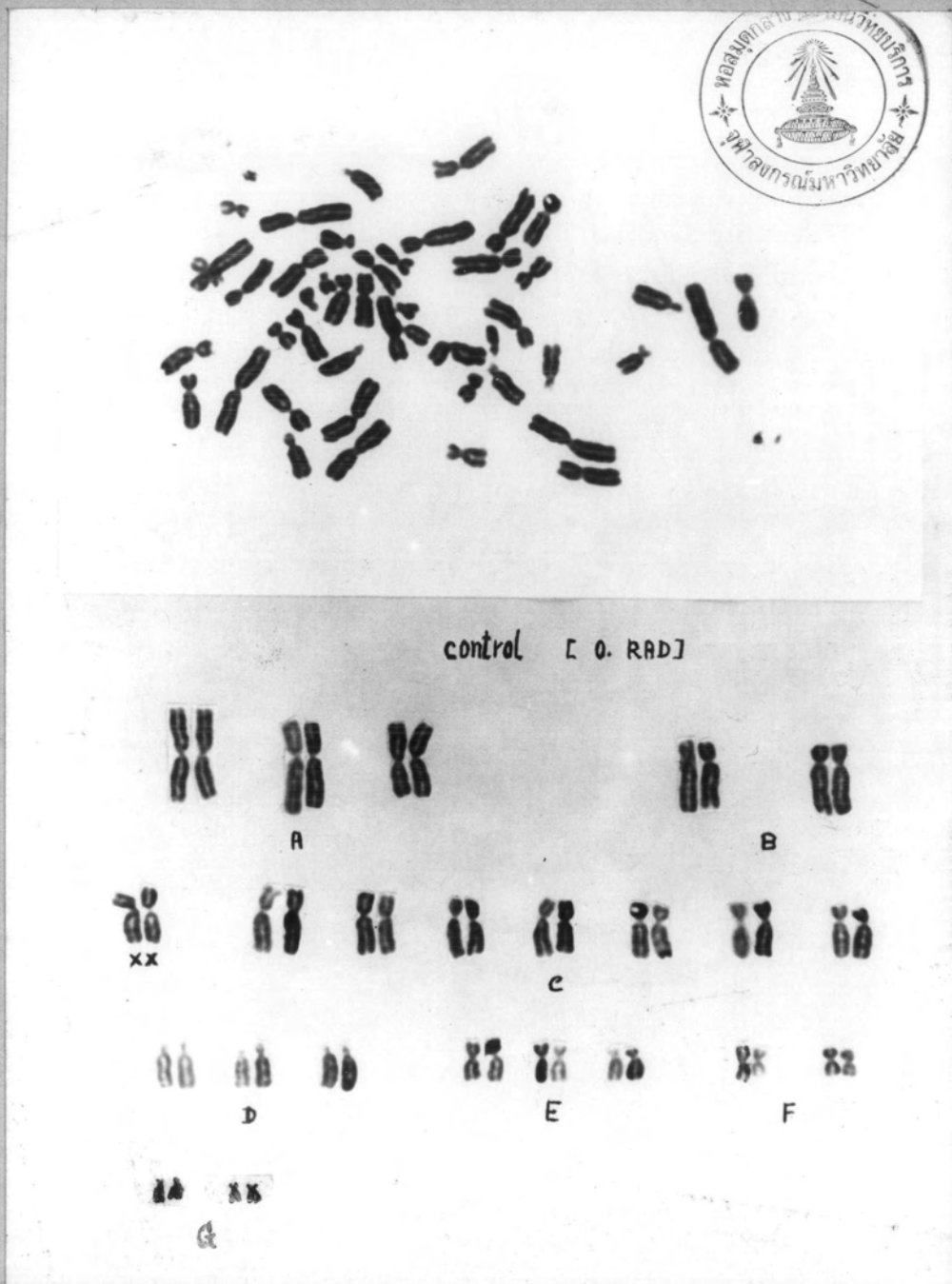
Treatment no.	Treatment name(raps)	Rank	mean	DMRT *
1	0	1	0.00	a
2	200	2	0.75	b
3	400	3	2.00	c
4	800	4	3.50	d
5	1600	7	4.00	d
6	3200	5	3.50	d
7	4000	6	3.50	d

ตัวเลขที่ตามห้ายอกมรที่เหมือนกัน ในมีความแตกต่างกันทางสถิติ ที่ระดับความเชื่อมั่นสำคัญ 95 %

* DMRT = Duncent's multiple range test.

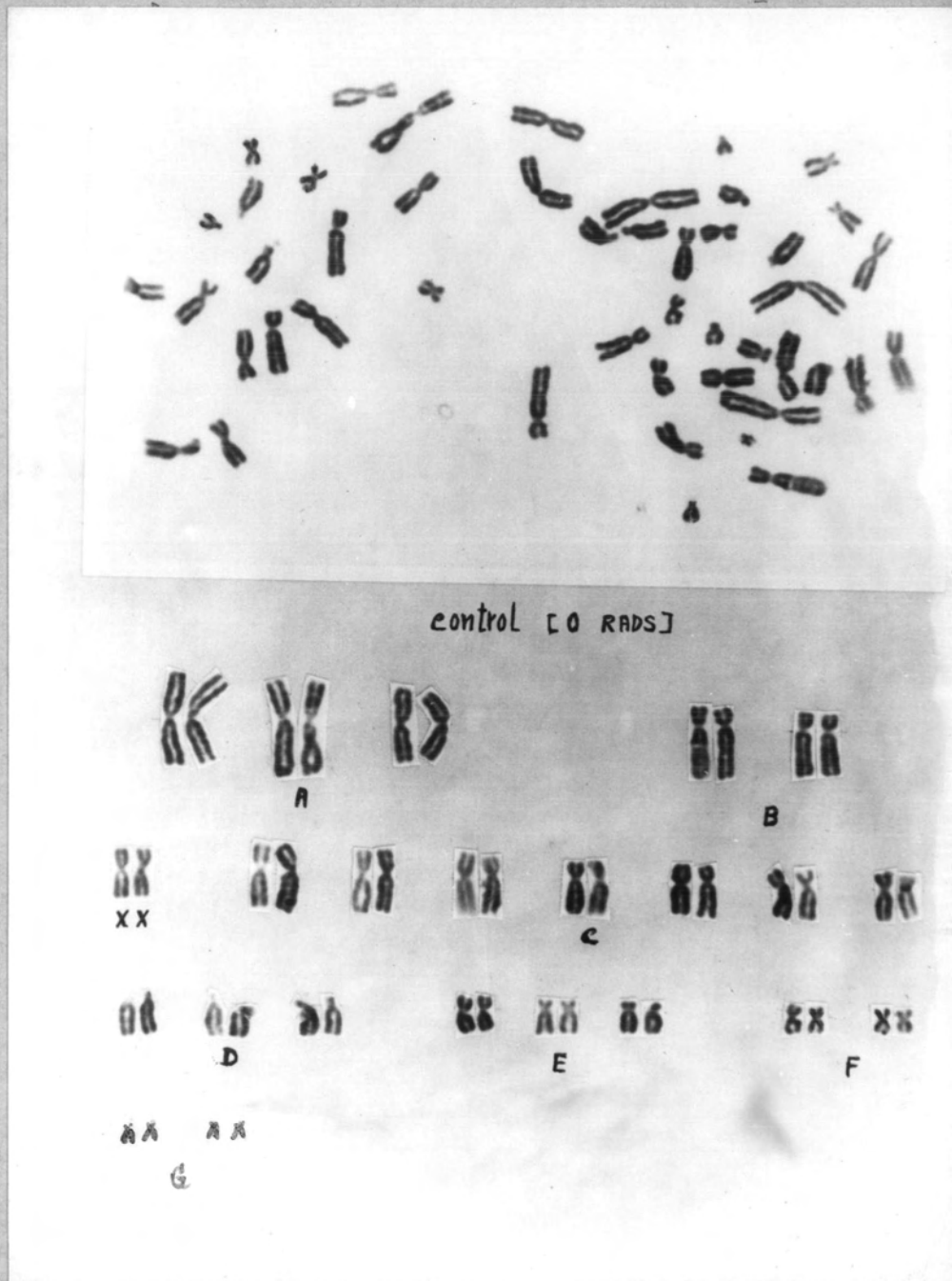
ส่วน ring chromosome เท่าที่พบมีจำนวนน้อย จึงไม่ได้นำมาคำนวณหาความแตกต่างทางสถิติ

จากการศึกษาโกรไมโคนของผู้ป่วย เมื่อได้รับปริมาณรังสีที่ใช้ในการรักษา โรคมะเร็งขนาดทาง ๆ กัน นำมาทำ karyotype ได้คังรูป



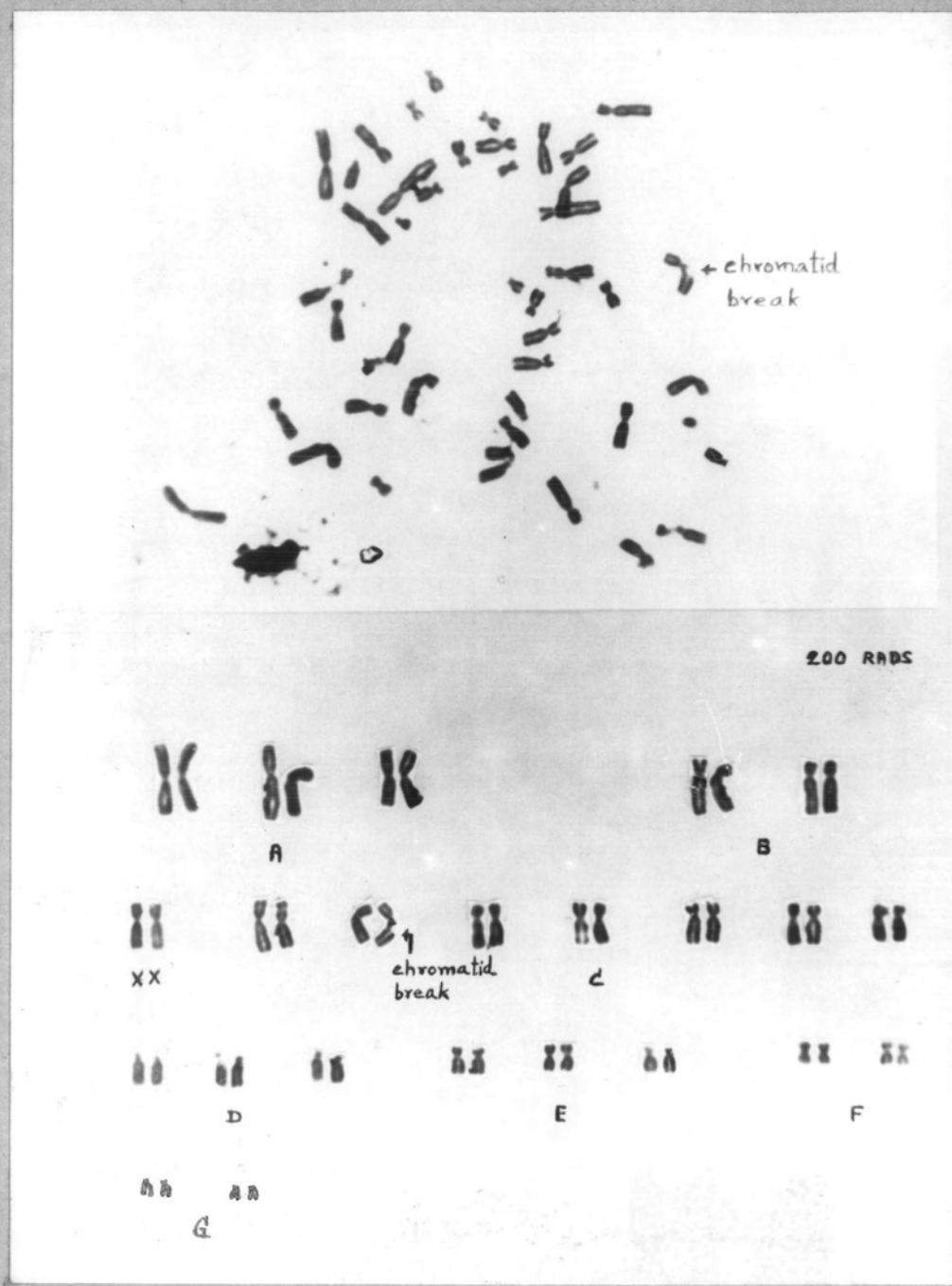
รูปที่ 15 แสดงผลการวิเคราะห์ของผู้ป่วยหญิงก่อนได้รับรังสี

กำลังขยาย 1000 เท่า

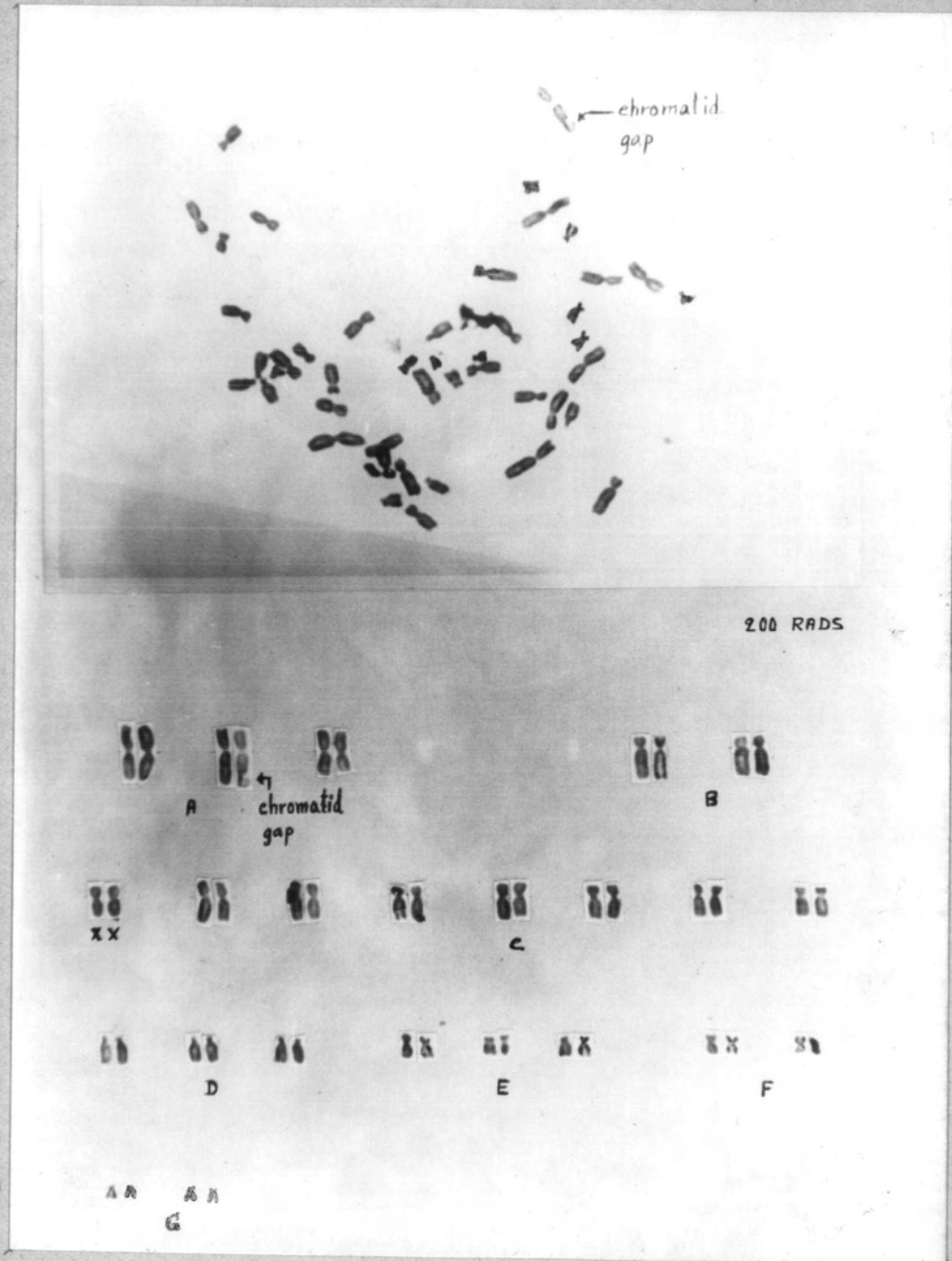


รูปที่ 16 แสดงการวิเคราะห์ของฟีวายพูนิกอนไครบังสี

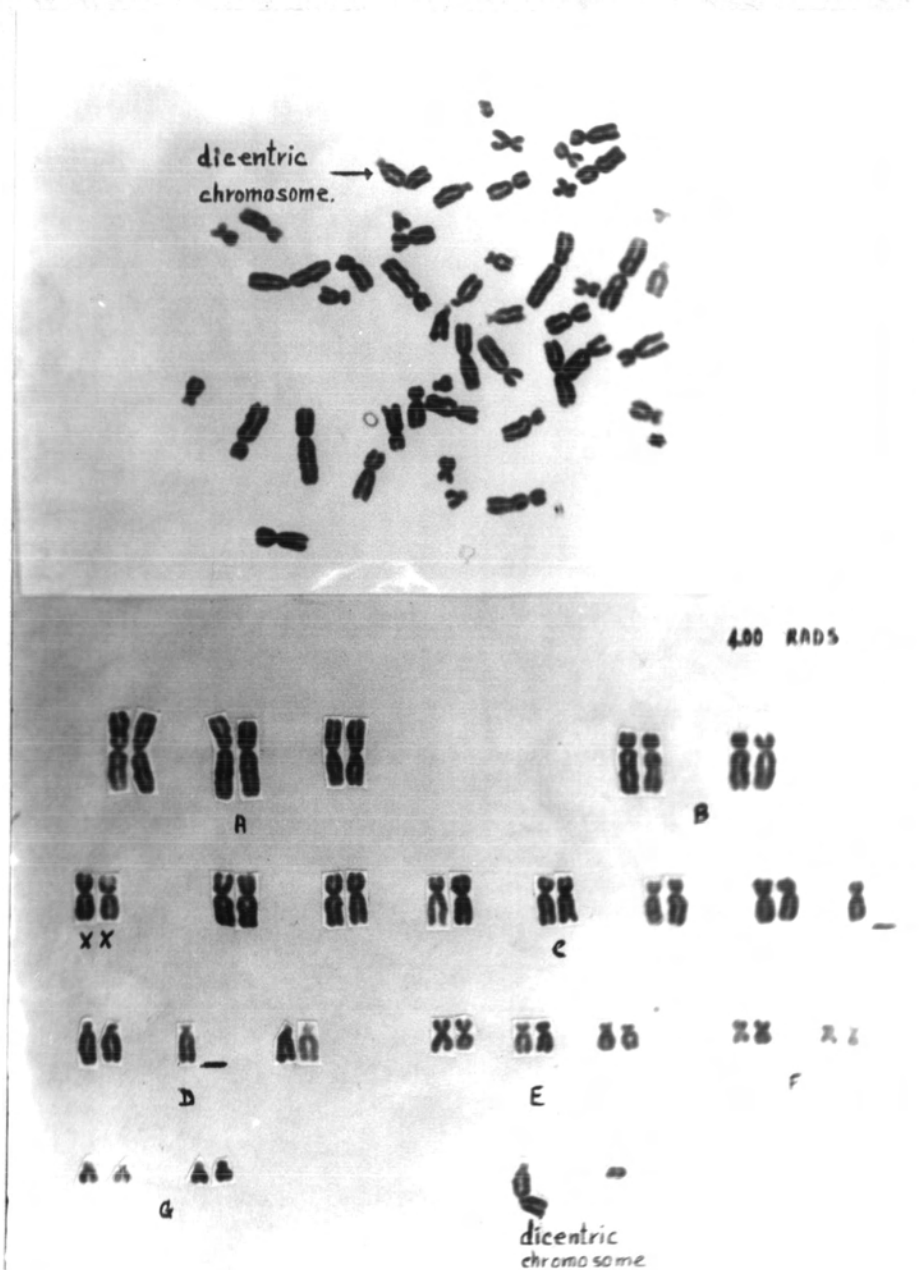
กำลังขยาย 1000 เท่า



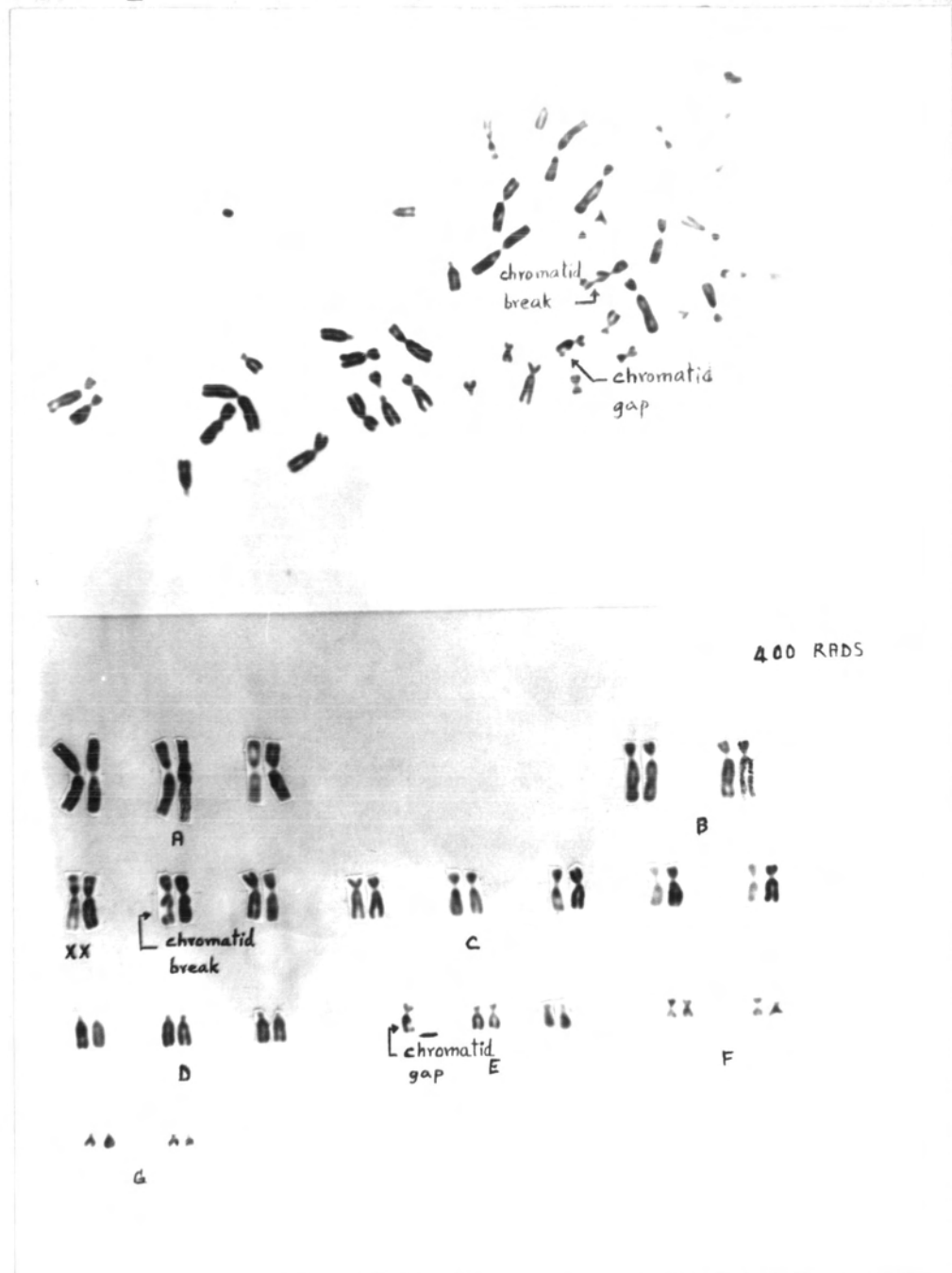
รูปที่ 17 แสดงการรือไฟฟ์ของบีบหูง เมื่อได้รับรังสีขนาด 200 rads
มี chromatid break เกิดขึ้น
กำลังขยาย 1000 เท่า



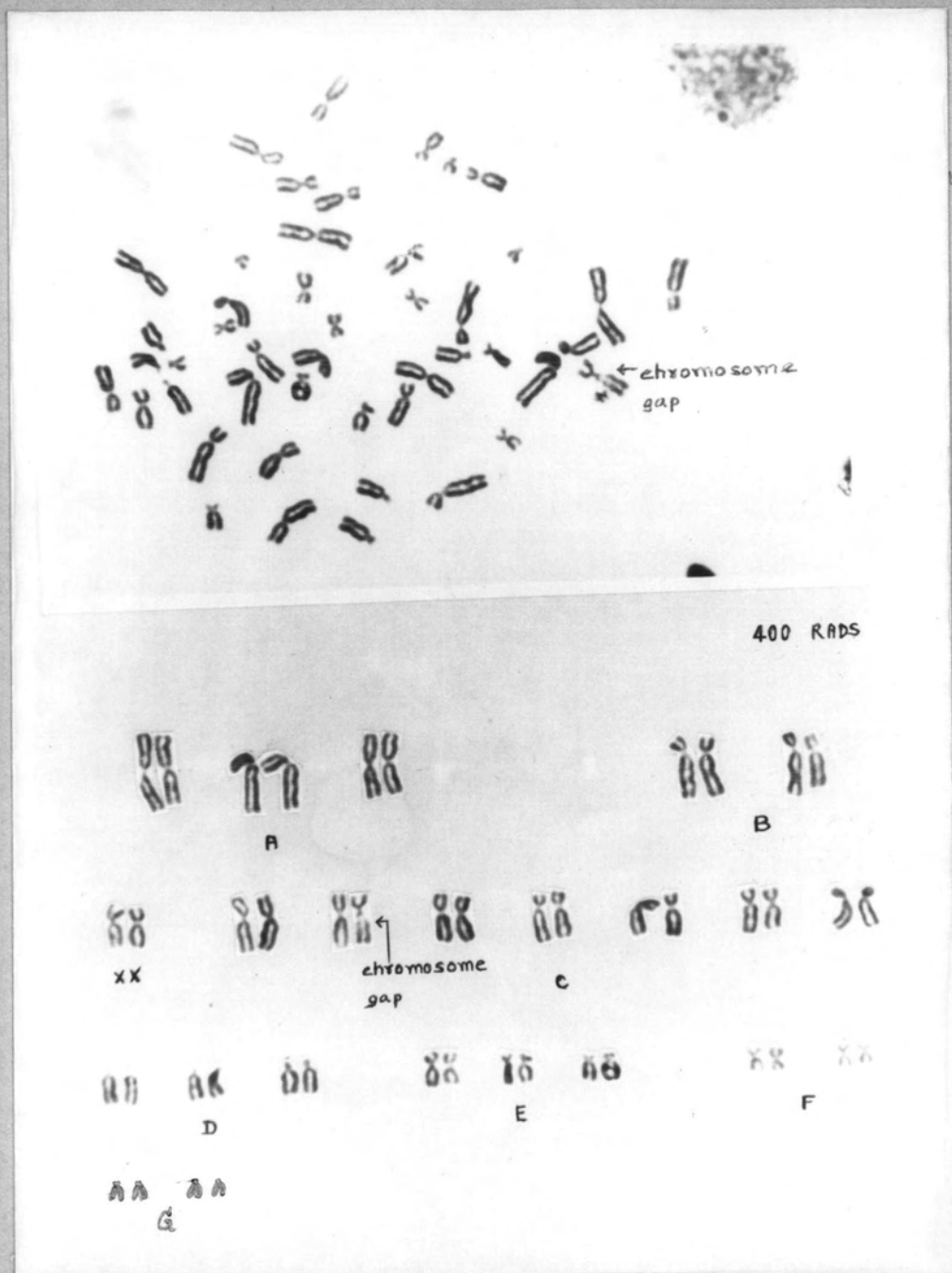
รูปที่ 18 แสดงการถือไฟฟ์ของผู้ชั่วหน้า
เมื่อได้รับรังสีขนาด
200 rads มี chromatid gap เกิดขึ้น
กำลังขยาย 1000 เท่า



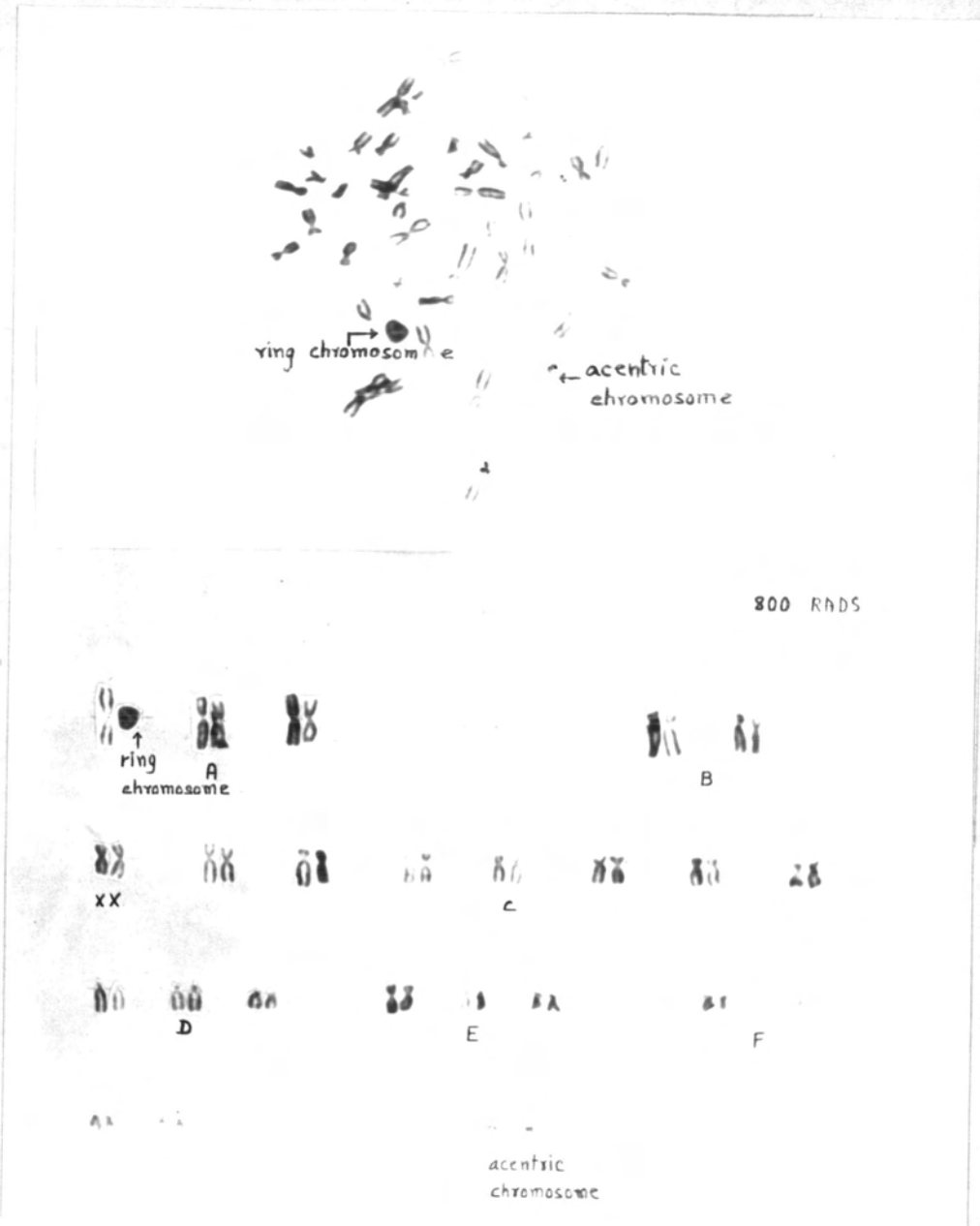
รูปที่ 19 แสดงศรีริโอไฟฟ์ของผู้ป่วยหญิง เมื่อได้รับรังสีขนาด
400 rads มี dicentric chromosome และ acentric
chromosome เกิดขึ้น
กำลังขยาย 1000 เท่า



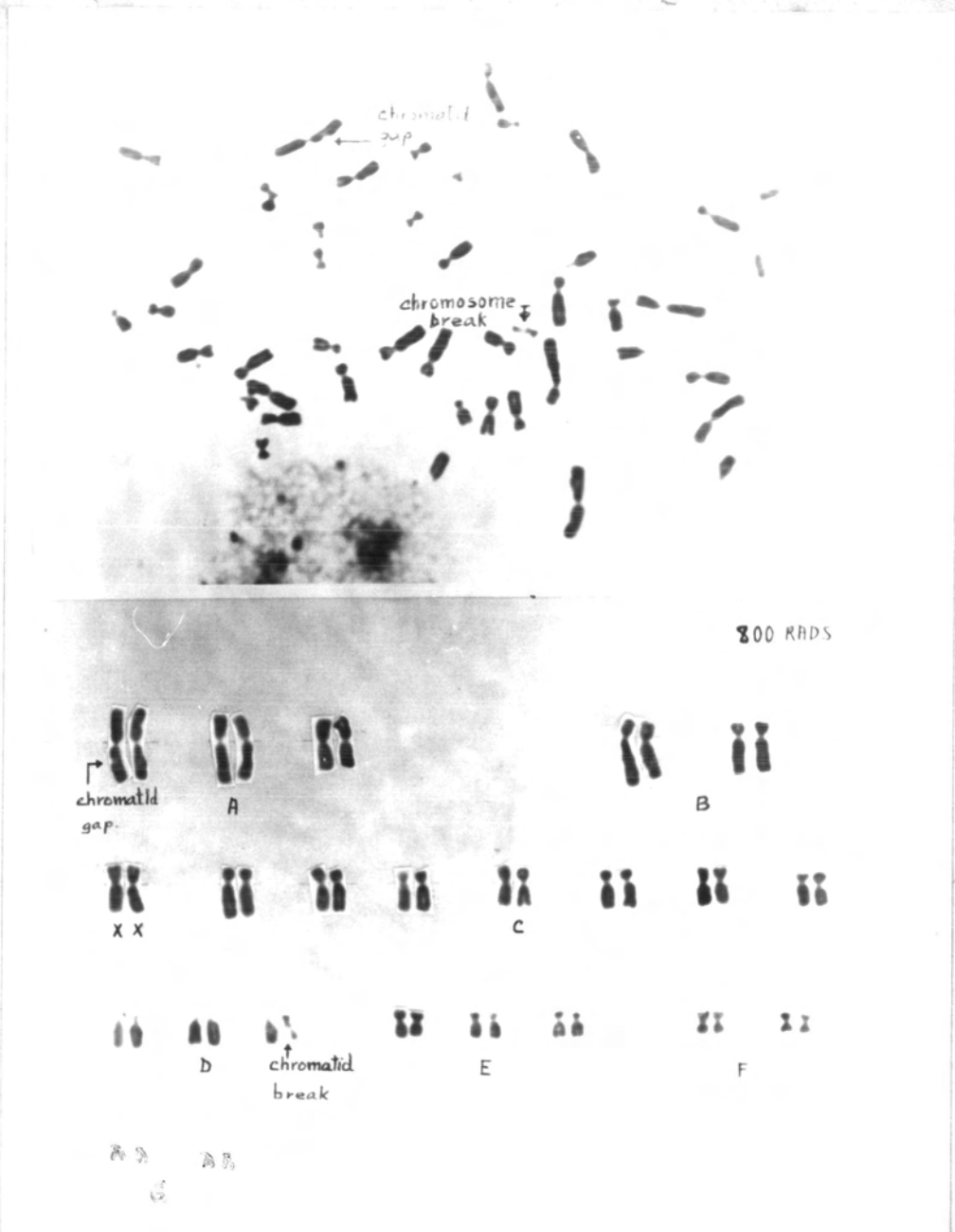
รูปที่ 20 แสดงการไอโซไฟฟ์ของบุปผาหญิง เมื่อได้รับรังสีขนาด 400 rads
มี chromatid break และ chromatid gap เกิดขึ้น
กำลังขยาย 1000 เท่า



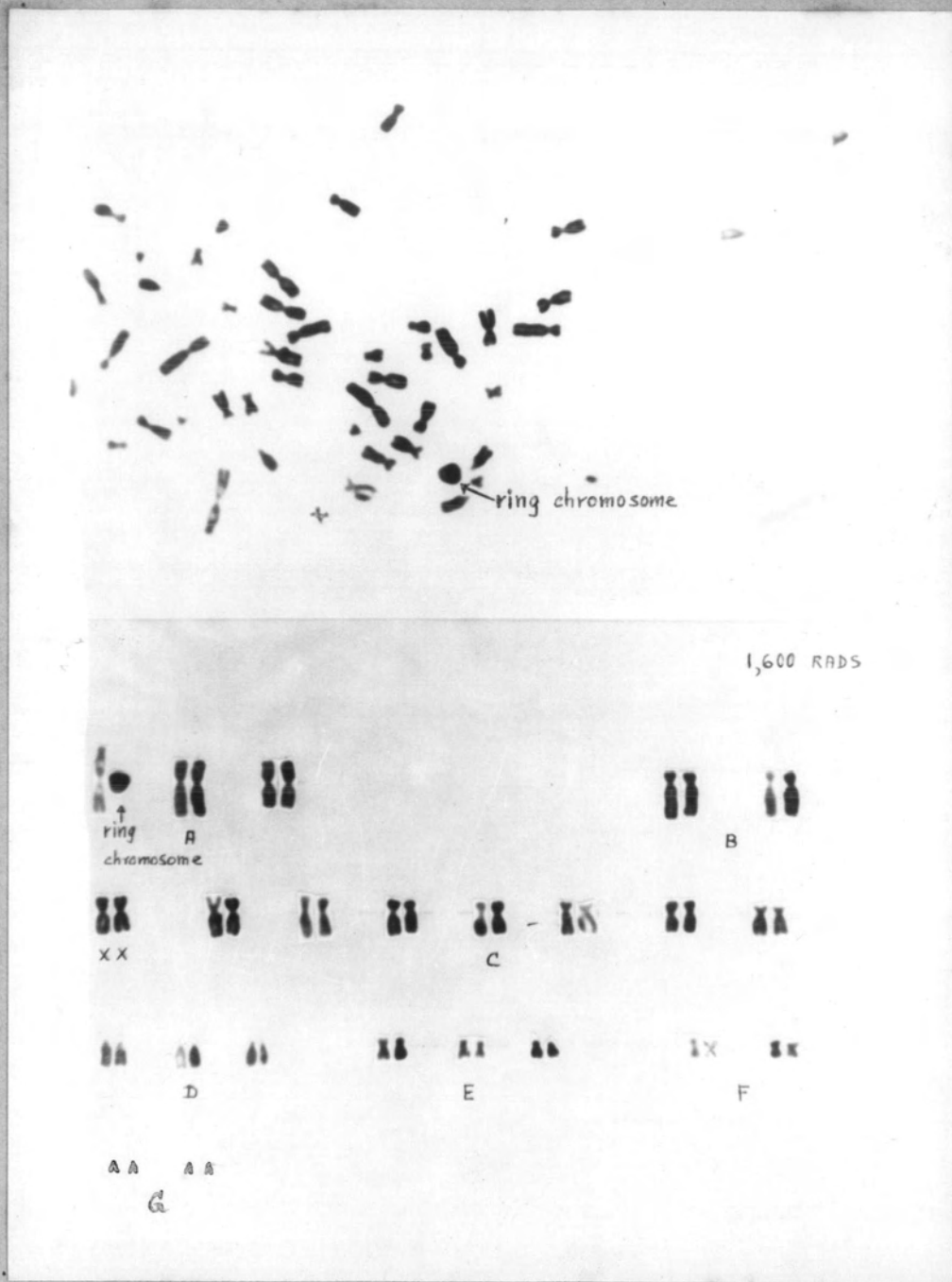
รูปที่ 21 แสดงการวิเคราะห์ของผู้ป่วย เนื่องได้รับรังสีขนาด 400 rads
มี chromosome gap เกิดขึ้น
กำลังขยาย 1000 เท่า



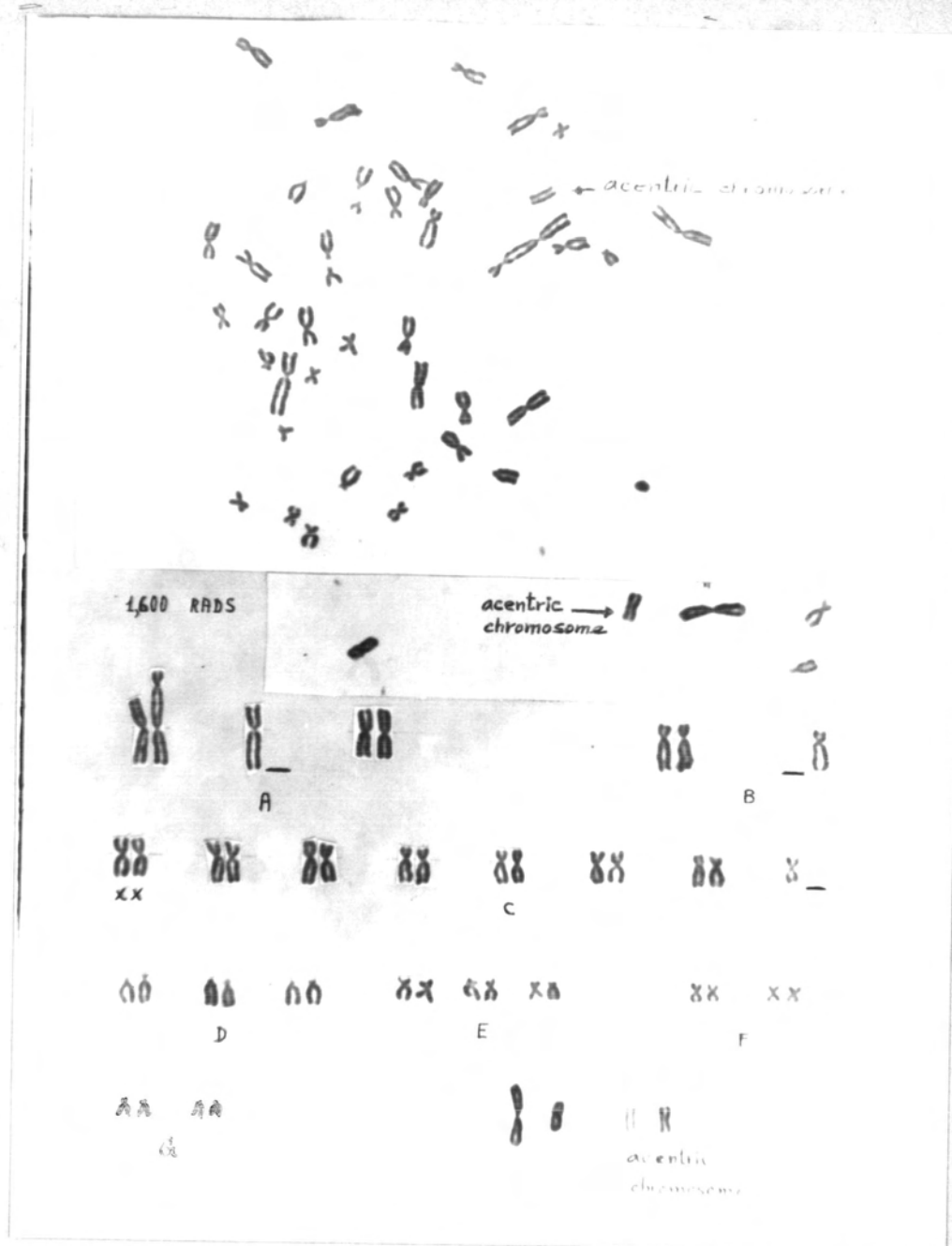
รูปที่ 22 แสดงคราโนไซไฟฟ์ของผีปูนหญิง เมื่อได้รับรังสีขนาด 800 rads
มี ring chromosome และ acentric chromosome เกิดขึ้น
กำลังขยาย 1000 เท่า



รูปที่ 23 แสดงคาริโอี้พืชของผักเมล็ด เมื่อได้รับรังสีขนาด 800 rads
มี chromatid gap และ chromatid break เกิดขึ้น
กำลังขยาย 1000 เท่า



รูปที่ 24 แสดงการวิเคราะห์ของผีเสื้อหลัง เมื่อได้รับรังสีขนาด
1,600 rads มี ring chromosome เกิดขึ้น
กำลังขยาย 1000 เท่า

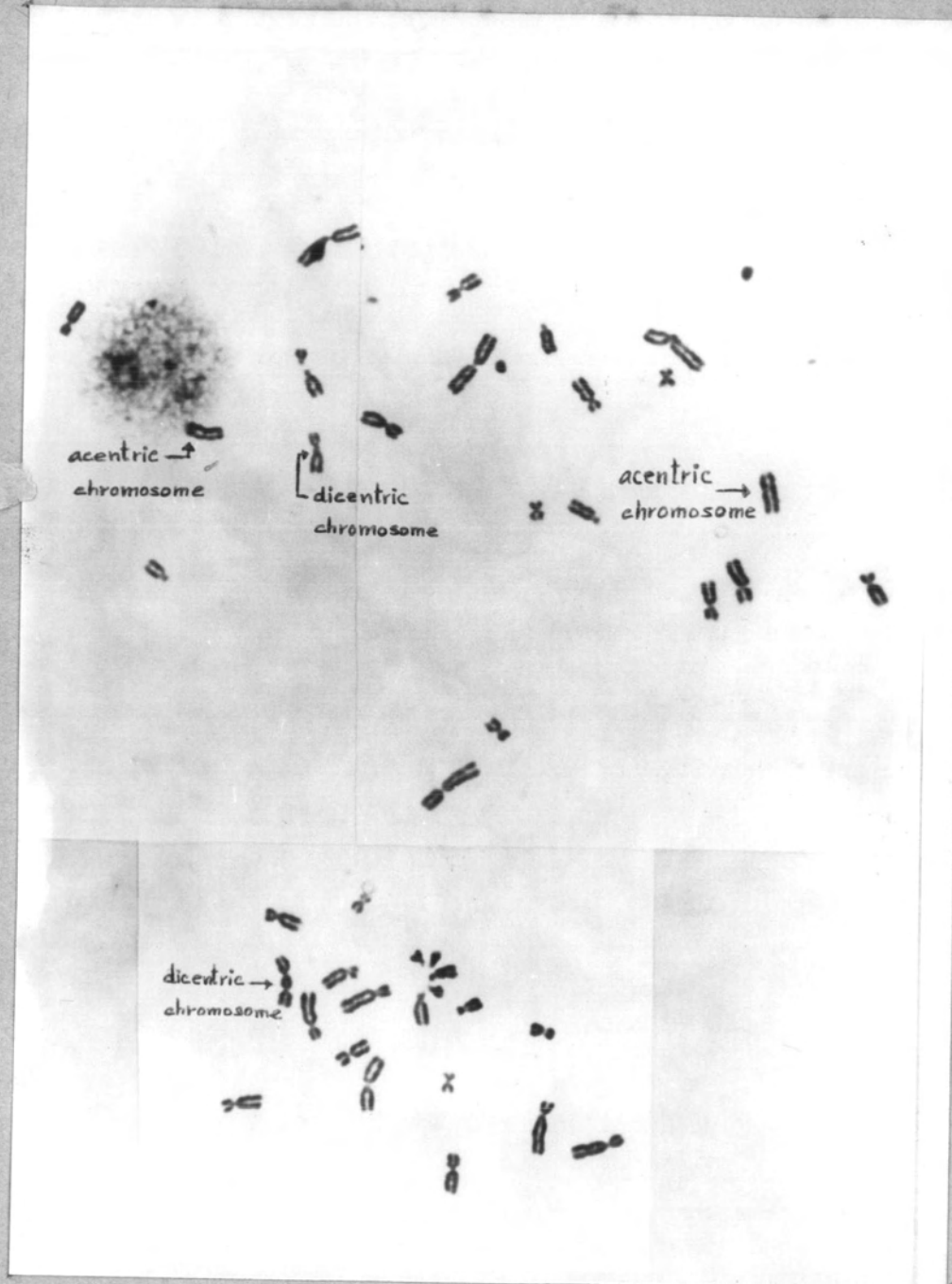


รูปที่ 25 แสดงการไอโซเท็ตของซูเปอร์ฟลูอิง เมื่อได้รับรังสีขนาด

1,600 rads มี acentric chromosome

extrachromosome

กำลังขยาย 1000 เท่า



รูปที่ 26 แสดงการถูกไฟฟ้าของผู้ป่วยหญิง เมื่อได้รับรังสีขนาด
3,200 rads มี dicentric chromosome และ
acentric chromosome เกิดขึ้น
กำลังขยาย 1000 เท่า



3,200 RADs



A



B



C



D

E

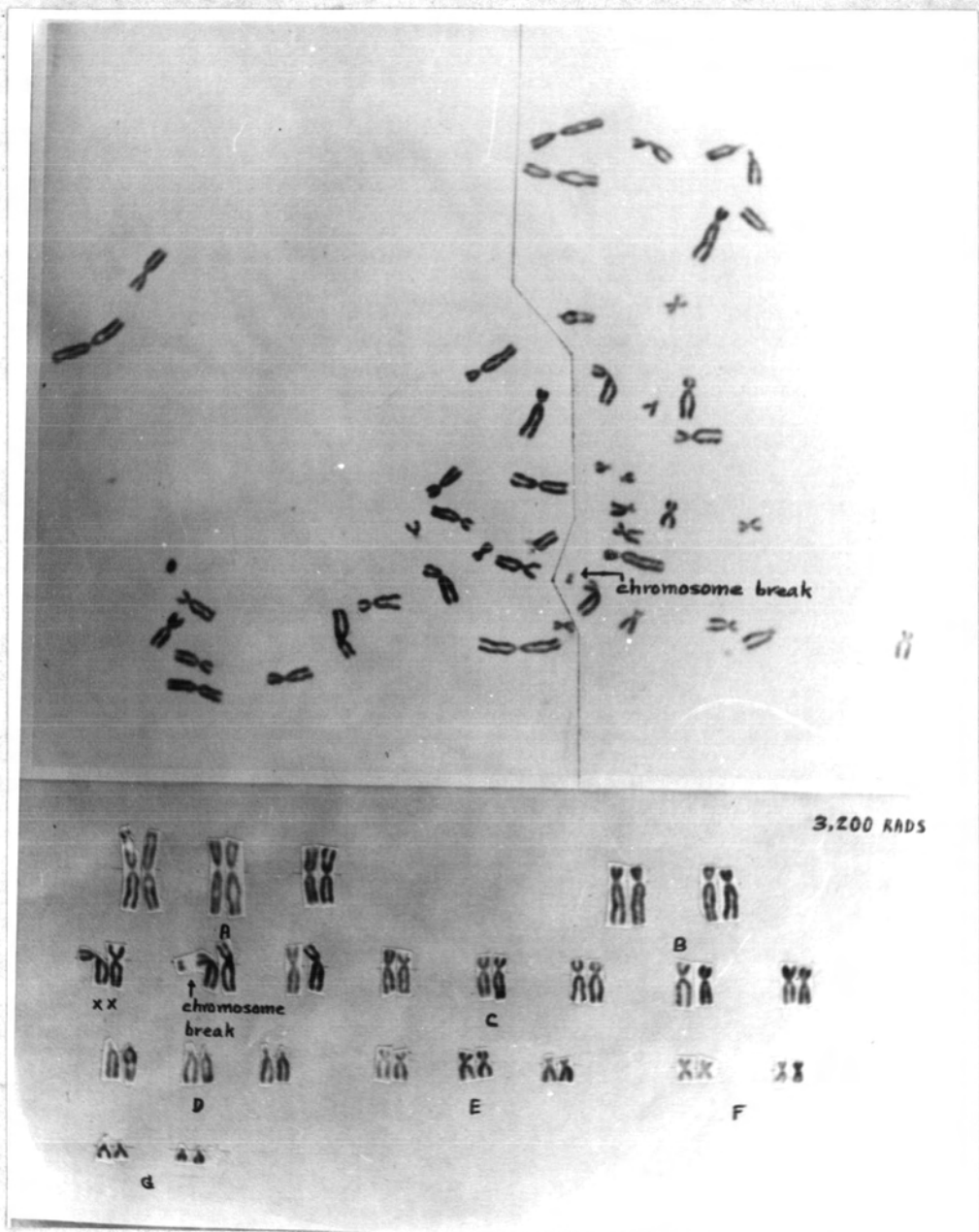
F



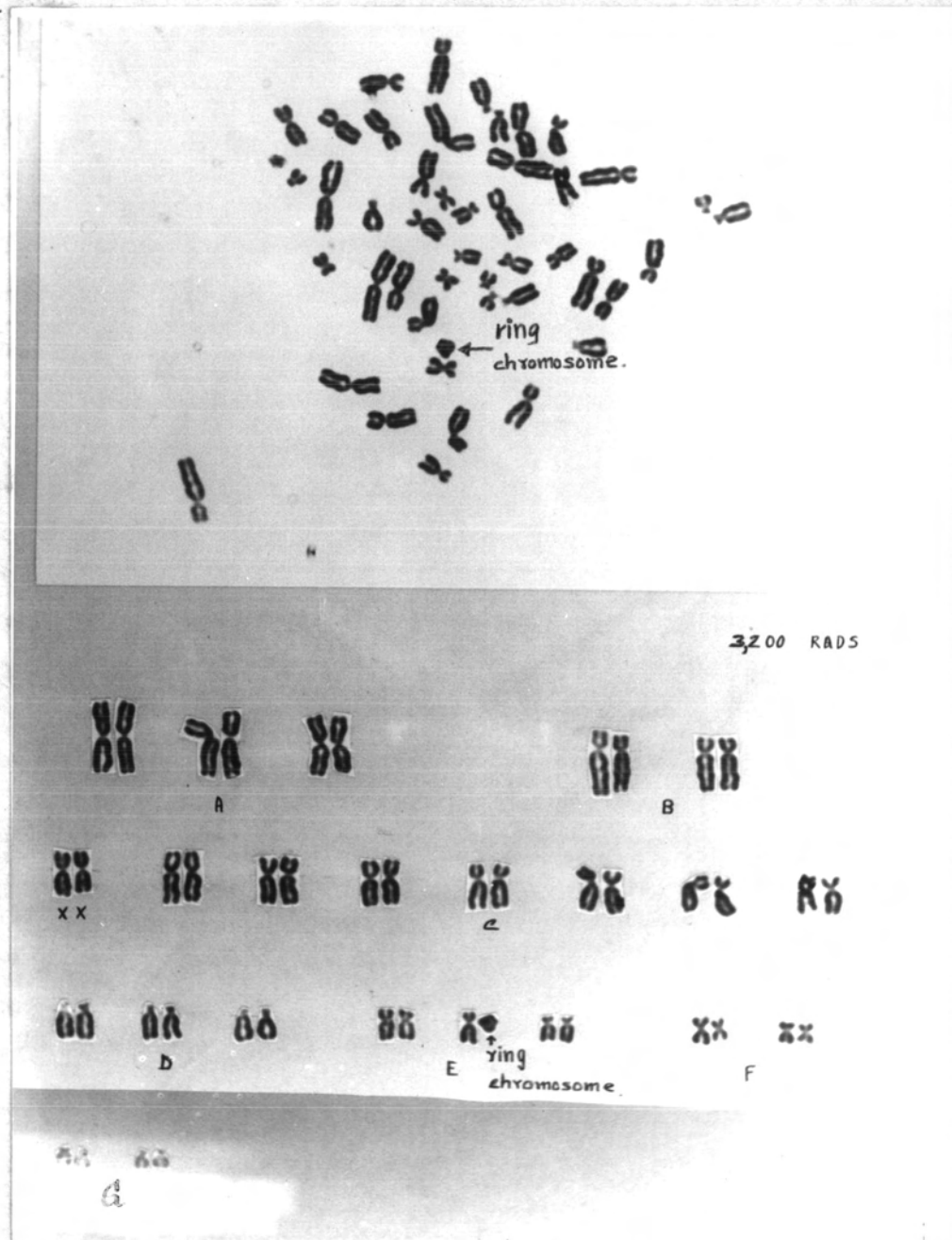
G



acentric dicentric
chromosome chromosome

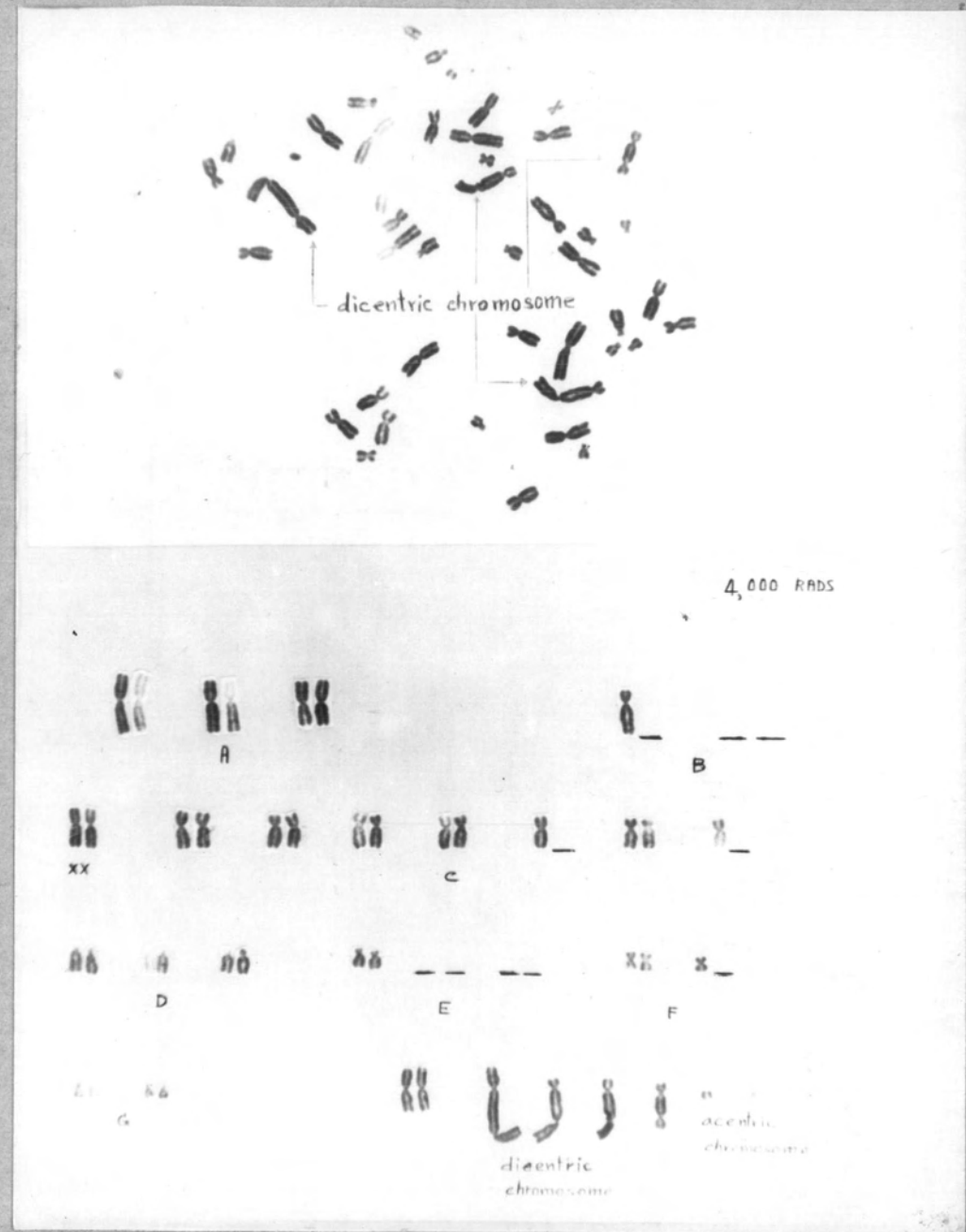


รูปที่ 27 แสดงการวิเคราะห์ของผู้ป่วย หญิง เมื่อได้รับรังสีขนาด
3,200 rads มี chromosome break เกิดขึ้น
กำลังขยาย 1000 เท่า



รูปที่ 28 แสดงการวิเคราะห์ของผู้มีบุณฑูต เมื่อได้รับรังสีขนาด 3,200 rads
มี ring chromosome เกิดขึ้น

กำลังขยาย 1000 เท่า



รูปที่ 29 ผลของการรังสีไฟฟ้าของผึ้งหางผู้ เมื่อไดรับรังสีขนาด

4,000 rads มี dicentric chromosome, acentric chromosome และ extrachromosome เกิดขึ้น

กำลังขยาย 1000 เท่า